

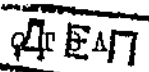
АКАДЕМИЯ КОММУНАЛЬНОГО ХОЗЯЙСТВА  
при СНК РСФСР

---

~~С - 316842~~  
Инж. М. М. ДВОРЕЦКИЙ

Д В И Ж Е Н И Е  
В КАНАЛИЗАЦИОННЫХ  
КАНАЛАХ ПЕСКА И ТРЯПЬЯ  
И ПРИЕМЫ ИХ УЛАВЛИВАНИЯ  
ИЗ СТОЧНЫХ ВОД

ИЗДАТЕЛЬСТВО НАРКОМХОЗА РСФСР  
1940



~~316842~~

Инж. М. М. Дворецкий

628  
Д243.

Д В И Ж Е Н И Е  
В КАНАЛИЗАЦИОННЫХ  
КАНАЛАХ ПЕСКА И ТРЯПЬЯ  
И ПРИЕМЫ ИХ УЛЯВЛИВАНИЯ  
ИЗ СТОЧНЫХ ВОД

(Наблюдения и эксперименты  
над песколовками и решетками)



ИЗДАТЕЛЬСТВО НАРКОМХОЗА РСФСР  
МОСКВА 1940 ЛЕНИНГРАД



1954

Настоящий труд является первой попыткой изучения работы в опытных и эксплуатационных условиях сооружений, задерживающих из канализационной жидкости песок и тряпье. Сооружения эти играют значительную роль среди прочих сооружений для механической очистки сточных вод, поэтому вопрос изучения их работы имеет большое практическое значение для их проектирования. Попутно автор касается и вопроса движения твердых веществ сточной жидкости в каналах, не освещенного в достаточной степени ни в советской, ни в заграничной научной литературе.

Книга найдет читателей среди инженеров и техников, работающих в области очистки сточных вод, и будет полезна для проектирования песколовок и решеток.

Редактор А. В. Кастельский.

Тех. редактор А. П. Горкун.

Уполн. Главлитта № А—27526. Тираж 3000. Заказ тип. 710. К-02. Издат. № 119.  
Бумага 60×92 $\frac{1}{4}$  л. Печ. л. 3,5. Зн. в 1 печ. л. 75747. Уч.-изд. л. 6,60.  
Сдано в набор 2/II 1940 г. Подписано к печати 4/IV 1940 г.

1-я Образцовая типография Огиза РСФСР треста «Полиграфкнига». Москва,  
Баловая, 28.

Отпечатано с матриц в типографии изд-ва «Московский рабочий».  
Петровка, 17. Заказ 161.

## ВВЕДЕНИЕ

Любое явление в движении компонентов сточной жидкости в каналах представляется результатом воздействия движущей силы текущей жидкости и сил разнообразных сопротивлений, оказываемых отдельными компонентами силе, их движущей.

Каждому отдельному участку живого потока соответствует особо установленное состояние равновесия его компонентов, отвечающее местному действию жидкости и характеру ложа потока. Особенно характерная связь состояния равновесия действующих сил наблюдается для тяжелых веществ сточной жидкости (песчаные отложения). Чем больше величина колебания работы потока жидкости, а также чем меньше сопротивляемость размыву песчаных отложений на дне канала, тем менее устойчиво то или другое состояние их равновесия в движущемся потоке. Напротив, каждое обстоятельство, ограничивающее изменчивость активных сил или сил сопротивления, уменьшает происходящие изменения и режим потока.

Вопрос о движении твердых веществ сточной жидкости в каналах, имеющий практическое значение при проектировании канализационной сети, а также при проектировании всякого рода сооружений для механической очистки сточных вод, до сего времени не освещен в достаточной степени ни в советской, ни в зарубежной технической и научной литературе. Существует ряд теорий о движении паносов, основанных на изучении работы рек, а также на изучении заиления приргационных каналов, но все эти теории в полной мере не могут быть применены в канализационной практике<sup>1</sup>.

Наличие разнородных компонентов (жидкость, тряпье, осадок, илистые коллоидные частицы) в сточных водах значительно усложняет и разнообразит явления движения тяжелых паносов в каналах; поэтому при решении практических задач, касающихся вопросов о движении и отложении песчаных паносов в каналах, следует с большой осторожностью обращаться к той или иной теории и пользоваться ее выводами.

Настоящая работа по изучению движения в канализационных каналах песка и тряпья и приемов их улавливания из сточных вод является первой попыткой путем изучения работы эксплуатационных и опытных сооружений дать некоторую характеристику движения указанных компонентов сточной жидкости, Материалами для настоящей работы послужили:

1. Литературные данные о движении паносов в приргационных каналах.
2. Непосредственные наблюдения при обследовании гидравлической работы каналов московской канализации для составления генеральной схемы канализации г. Москвы.
3. Экспериментальные данные по изучению работы специально построенных опытных установок.

Лабораторные и полевые исследования на опытных установках производились по договору треста Мосочиствод с Академией коммунального хозяйства при Совнархозе РСФСР, территориально исследования производились на Люберецких полях фильтрации треста Мосочиствод и в его лаборатории.

В заключение автор считает приятным долгом выразить благодарность сотруднику лаборатории И. А. Шашкину, принимавшему участие в проведении экспериментальных работ на опытных установках.

Особую признательность автор приносит профессору С. Н. Строганову за общее руководство и помошь в организации и проведении исследовательских работ.

<sup>1</sup> В этой работе цифры в скобках указывают порядковые номера приведенной литературы, в которой дано рассмотрение отдельных вопросов, затрагиваемых здесь.

## Часть I

### Глава 1. ЗАВИСИМОСТЬ МЕЖДУ СКОРОСТЬЮ ТЕЧЕНИЯ СТОЧНОЙ ЖИДКОСТИ И НАНОСАМИ В КАНАЛИЗАЦИОННЫХ КАНАЛАХ

#### 1. Общие сведения о твердых составных частях сточных вод

Сточные воды представляют собой смесь водопроводной воды с теми примесями, которые вносятся в эту воду при ее использовании. В зависимости от характера жизни города, а также условий пользования канализацией, сточные воды содержат в себе то или другое количество твердых примесей. Твердые примеси, содержащиеся в сточных водах, могут по мере их движения в каналах растворяться в воде или оставаться нерастворимыми.

Нерастворенные вещества могут в зависимости от удельного веса отдельных частиц, а также величины скорости течения, взвинтиться в движущемся потоке то или иное положение. Тяжелые вещества обычно тонут по дну и по своему составу принадлежат главным образом к группе примесей минерального происхождения. К такого рода примесям относятся: песок, мелкие камни, каменный уголь, битый кирпич, стекло и т. п.

Из указанных твердых веществ часто в лотках каналов образуются неподвижные плотные отложения.

Наносы этого рода лежат обычно неподвижно, и только верхний их слой сравнительно небольшой толщины, при увеличении скорости течения жидкости, может подвергаться размыву (смыывается).

Взвешенные вещества находятся в состоянии равновесия в любом пункте живого сечения потока в канале. К взвешенным веществам принадлежат: бумага, мешкая тряпка, волос, мочало и большинство кухонных отбросов, которые в основном относятся к группе органических веществ растительного происхождения.

К группе плавающих веществ прежде всего относятся жиры и волокнистые вещества, легко поднимающиеся на поверхность потока, а также и другие легко всплывающие вещества — ревизия, пробки, спички и пр.

Указанное распределение по физическим свойствам в движущемся потоке твердых нерастворимых веществ, содержащихся в сточных водах, является до некоторой степени условным. Так, плавающие вещества, сцепляясь со взвешенными веществами и облепляя их, могут переходить в состояние взвешенных, а падая с последними на дно каналов, могут быть причислены к группе тяжелых веществ.

Количество всех указанных твердых примесей в сточных водах является величиной не постоянной — оно колеблется по времени. Вочные часы количество примесей уменьшается, в дневные часы увеличивается.

#### 2. Взвешивание твердых частиц потоком

Передвижение водой твердых веществ или наносов находится в тесной связи с характером движения и скоростями потока.

Объяснение нахождения в потоке во взвешенном состоянии твердых частиц, имеющих удельный вес больше единицы, заключается в том, что скорости отдельных струй потока имеют часто переменное направление. Вертикальные составляю-

ющие этих скоростей являются причиной взвешенного состояния в воде твердых наносов.

Отделенные от стекки или дна канала частицы, попадая в поток, всплывут течением; попадая в область слабого движения, частицы опускаются на дно, снова подхватываются и несутся течением во взвешенном состоянии или же соединяются с наносами, влекомыми по дну. Такая беспорядочность движения взвешенных частиц особенно заметна на глаз для бумаги и тряпок, последние то всплывают на поверхность, то снова погружаются в глубину потока.

Для расчета канализационных каналов было бы чрезвычайно важно иметь величины скоростей, при которых происходит осаждение песчаных частиц, и вертикальных слагающих скоростей струй при разных условиях работы канала. Скорость осаждения твердых частиц в стоячей воде представляется возможным вычислить по формулам Шено, Стокса-Рихардса и др. Вертикальная слагающая скорость турбулентного движения потоков только недавно была экспериментально найдена проф. М. А. Великановым и представлена в виде графика (рис. 1) зависимости скорости осаждения от скорости потока, причем зависимость эта выражается по закону прямой линии для скоростей от 10 до 28 см в секунду. К сожалению, данных для больших скоростей до сего времени не имеется.

Примененный проф. Великановым метод определения скоростей, по заявлению самого автора, недостаточно точен (ошибка достигает 20%), однако использование полученных результатов можно считать допустимым. Результаты опытов, указанные на рис. 1, позволяют установить приближенную зависимость скорости осаждения частиц  $v$  от скорости влечения их  $u$ :

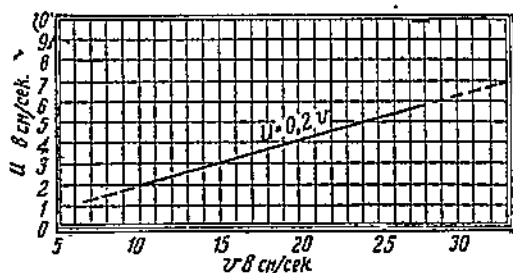


Рис. 1. График проф. Великанова.

$$v = 0,20 \cdot u.$$

Проф. Глушков, подробно разработавший теорию взвешивания твердых тел текущей водой, указывает, что величина вертикальной составляющей  $v$  колеблется от  $\frac{1}{12}$  до  $\frac{1}{20}$  нормальной скорости течения  $u$ . Так как вертикальные составляющие скорости (как и пульсации) уменьшаются от дна к поверхности, то в общем наблюдаются взвешивание более крупных и тяжелых частиц в придонных слоях потока и уменьшение их размеров и поверхности его. Если примеси более или менее однородны по размерам и вертикальные составляющие скоростей у поверхности достаточны для взвешивания частиц, то по всей толщине потока могут встречаться частицы одинаковой крупности.

По данным проф. А. Д. Брудастова [5] ниже даются скорости течения, при которых начинается осаждение из потока взвешенных частиц разного размера.

Для более точных подсчетов лучше сопоставлять скорости табл. 1 со скоростями, определяемыми по следующим формулам.

Еще Ньютона дал уравнение, определяющее сопротивление жидкости  $P$  при падении в нее шарика радиусом  $r$  со скоростью  $u$  при удельном весе жидкости  $\gamma$ :

$$P = \frac{k \cdot \gamma \cdot \pi \cdot r^2 u^2}{2g}, \quad (1)$$

где  $k$  — коэффициент формы (по Эйтольдеру [18] равный 0,79), зависящий от величины радиуса шарика.

В 1850 г. Шток определил силу падения частицы в жидкости  $Q$  следующим образом:

$$Q = \frac{4}{3} \pi (\gamma_1 - \gamma) r^3, \quad (2)$$

где  $\gamma_1$  — удельный вес частицы.

Таблица 1

Н/п №	Название наносов	Диаметр частиц в мм	Состав наносов	Скорость потока в м/сек
1	Ил . . . . .	0,001	Оксись железа, гидрат каолина, фосфат извести с примесью аморфного кремнезема	0,20
2	Песчаная пыль . . .	0,25—0,5	Почти чистый кварц	0,40
3	Песок мелкий . . . .	1,0—3,0	То же	0,50
4	Песок . . . . .	0,5—1,0	Обломки отдельных минералов с преобладанием кварца по мере раздробления	
5	Хриз . . . . .	3—5	Обломки массивных пород	1,50

Вотье (1885 г.) выполнил формулу предельной скорости, которой может достигать падающее в воде тело:

$$v = 2 \sqrt{\frac{\frac{2}{3} r \cdot g}{k} (\gamma_1 - 1)}, \quad (3)$$

где:

$r$  — радиус шара;

$g$  — ускорение силы тяжести, равное 9,81 м/сек;

$k$  — коэффициент формы.

По достижении этой скорости тело уже движется равномерно. Полагая  $k=0,5$  (среднее значение для преобладающих частиц),  $\gamma_1$  (удельный вес наносов) равным 2,00, получим упрощенную формулу:

$$v = 7,30 \sqrt{r}. \quad (4)$$

Силы  $P$  и  $Q$  — сопротивления и движущая [формулы (1) и (2)] — при взвешивании должны уравновешиваться, т. е.:

$$\frac{k \cdot \gamma \cdot v^3}{2g} = \frac{4}{3} (\gamma_1 - 1) r,$$

откуда можно определить скорость  $v$ , при которой тело будет находиться в жидкости во взвешенном состоянии:

$$v = \sqrt{\frac{4}{3} d \cdot g \frac{\gamma_1 - 1}{\gamma_2 \cdot k}} = 5,76 \sqrt{d \frac{\gamma_1 - 1}{\gamma}}, \quad (5)$$

где  $d$  — диаметр вершины в метрах.

Для исчисления по уравнению (5) приводится табл. 2 уд. весов  $\gamma_1$  разных веществ.

Удельный вес различных веществ

Таблица 2

Кирпич . . . . .	от 2,00 до 2,18	Песок . . . . .	от 1,40 до 2,80
Мел . . . . .	» 2,00 » 2,17	Уголь . . . . .	» 1,26 » 1,33
Известняк . . . . .	» 2,86 » 3,00	Шифер . . . . .	» 2,86 » 2,90
Гранит . . . . .	» 2,60 » 2,70	Торф . . . . .	» 0,64 » 0,84
Полевой шпат . . . . .	» 2,50 » 2,74	Глина . . . . .	» 1,50 » 2,80

Пользуясь уравнением (5), анализ механический состав наносов, можно определить ту среднюю из минимальных скоростей, при которой наносы будут находиться в потоке во взвешенном состоянии.

### 3. Влечение потоком твердых частиц по дну каналов

Отложения на дне канала обычно образуются из частиц, ввлекаемых потоком по дну. Влечение наносов по дну обуславливается донной скоростью потока, и точное значение этой скорости является особо важным для установления закона влечения наносов по дну каналов.

По Сенекену, давление  $P$  текущей воды на тело, лежащее на дне потока, выражается формулой:

$$P = k \cdot \gamma \cdot F \frac{v^2}{2g}, \quad (6)$$

где:

$\gamma$  — удельный вес жидкости;

$F$  — площадь поперечного сечения тела;

$v$  — скорость течения потока;

$g$  — ускорение силы тяжести, равное 9,81 м/сек;

$k$  — коэффициент формы.

Действие силы тяжести  $P_1$ , стремящееся катить тело вниз по дну потока с уклоном  $i$ , будет:

$$P_1 = (\gamma_1 - \gamma) W \left( \frac{i}{1+i^2} - f \right),$$

где:

$\gamma_1$  — удельный вес;

$W$  — объем тела;

$i$  — уклон дна потока;

$f$  — коэффициент трения (по Дюбуа в среднем равный 0,68).

В момент равновесия силы  $P$  и  $P_1$  должны быть равны между собой. Так как уклон потока  $i$  является величиной малой, то можно принять:

$$\frac{i}{1+i^2} = 0.$$

Если равновесия нет, то величина равнодействующей равна:

$$P = k \cdot \gamma \frac{F v^2}{2g} - W (\gamma_1 - \gamma) f. \quad (7)$$

Эти установили зависимость между скоростью течения и передвижением текущей водной частицы по дну потока путем сопоставления.

Рассмотрим условия влечения шара по дну потока. Давление текущей воды будет равно:

$$P = k \frac{F v^2}{2g} = k \frac{\pi r^2 v^2}{2g},$$

где:

$k$  — 0,68,

$v$  — скорость,

$r$  — радиус шара.

Сопротивление шара движению вследствие трения о дно по формуле (7) будет:

$$R = f \frac{4}{3} \pi r^3 (\gamma_1 - \gamma).$$

В момент равновесия силы  $P$  и  $R$  должны быть равны, т. е.:

$$k \frac{\pi r^2 v^2}{2g} = f \frac{4}{3} \pi r^3 (\gamma_1 - \gamma).$$

Решая уравнение относительно  $r$ , имеем:

$$r = \frac{3k}{8f/g (\gamma_1 - \gamma)} v^2 \quad (8)$$

Обозначая постоянную величину через  $A$ , получим:

$$r = \underline{A \cdot v^3}, \quad (9)$$

Так как вес тела пропорционален третьей степени его линейных размеров, то из уравнения (9) следует, что вес тела, втекомого потоком, пропорционален 6-й степени скорости потока; этот закон Эри может быть распространен и для перекатывания тел по дну потока.

Если под дно потока лежит твердое тело кубической формы малого размера по сравнению с глубиной потока, то оно подвергается действию удара продольных струй жидкости, имеющих скорость  $v$  (рис. 2). При известном соотношении между скоростью струй потока и размерами кубика он будет перекатываться по дну потока.

Давление воды на кубик по формуле (7) будет:

$$P = k \frac{a^2 v^2}{2g}.$$

Момент вращения около точки  $B$  будет:

$$k \frac{a^2 v^2}{2g} \cdot \frac{1}{2} a = k \frac{a^3 v^2}{4g}.$$

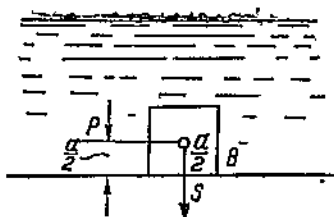


Рис. 2. Кубик, лежащий на дне.

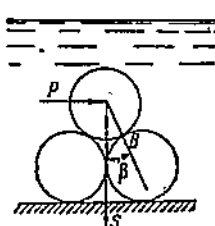


Рис. 3. Схема шаров.

Момент  $M$ , удерживающий кубик на дне потока, равен весу кубика в воде, умноженному на плечо, т. е.:

$$M = f a^3 (\gamma_1 - \gamma) \cdot \frac{a}{2} = f \frac{a}{2} (\gamma_1 - \gamma).$$

В момент равновесия моменты  $P$  и  $M$  должны быть равными:

$$k \frac{a^3 v^2}{4g} f = \frac{a^4}{2} (\gamma_1 - \gamma),$$

или

$$a = \frac{k \cdot v^2}{2g (\gamma_1 - \gamma)}.$$

Движение наносов можно себе представить как движение шара по расположенным ниже шарам (рис. 3). В этом случае давление текущей жидкости на верхний шар будет пропорционально:

$$P = \frac{k \pi r^3 v^2}{2g}.$$

Плечо момента вращения около точки  $B$  будет равно:

$$r \cdot \cos \beta.$$

Момент сопротивления  $M$  будет равен произведению веса на плечо, т. е.:

$$M = f \frac{4}{9} \pi r^6 (\gamma_1 - \gamma) r \cdot \cos \beta_1$$

правившая для достижения равновесия моменты  $P$  и  $M$ , получим:

$$k \frac{\pi r^2 v^2}{2g} r \cdot \cos \beta = f \frac{4}{3} \pi r^3 (\gamma_1 - \gamma) r \cdot \sin \beta.$$

отсюда

$$r = \frac{3k}{8gf(\gamma_1 - \gamma)} v^3 \cdot \operatorname{ctg} \beta$$

или опять [см. формулу (9)]:

$$r = \underline{A \cdot v^2}.$$

По формуле Эри, при движении различных частиц по дну скорость движения их зависит от трения о дно, а так как у различных крупинок благодаря их различному строению коэффициент трения меняется, смотря по тому, как расположается крупинка относительно дна, то движение крупинок получается прерывистым: крупинка то катится, то приостанавливается, иногда скорость движения увеличивается, иногда уменьшается.

Закон Эри, выведенный теоретически, был подвергнут многочисленным экспериментальным проверкам, которые его вполне подтвердили.

### П о Д ю б у а:

мелкий песок начинает двигаться при средней скопости течения . . . . .	0,162	м/сек
крупный песок . . . . .	0,216	"
мелкая галька . . . . .	0,312	"
средняя галька . . . . .	0,650	"
крупная галька . . . . .	0,975	"

Формула Эри предполагает, что отдельные частицы (песчинки, гальки, камни) катятся по неподвижному дну, и в сущности только для этого случая формула Эри имеет вполне определенное значение.

Анализ приведенных формул показывает, что они не могут дать точных выводов о зависимости между скоростью течения жидкости и образованием валосов в каналах.

Во всех приведенных формулах вопрос решается только в установлении связи между глубиной и средней скоростью потока. Практически вопрос усложняется характером перемешивания жидкости в потоке, различной величиной вспенивающих скоростей, различной крупностью и весом валосов, замутненностью потока и т. д.

Кроме приведенных формул, существует целый ряд формул других исследователей, работавших в данной области, но эти формулы утратили свое значение.

## Глава 2. ДИНАМИКА ТВЕРДЫХ ПРИМЕСЕЙ СТОЧНЫХ ВОД (ОПЫТЫ НАБЛЮДЕНИЯ)

### 1. Тяжелые вещества

Тяжелые вещества или донные отложения в канализационных каналах и трубах играют большую роль при их расчетах и эксплуатации, поскольку этими отложениями большой частью вызывается засорение каналов.

Равнобравье примесей зависит от системы канализации и от местных условий эксплуатации сети. Характеристика тяжелых валосов по механическому составу приводится в табл. 3. Образец для характеристики взят из отложений одного из каналов московской канализации в пределах города.

Механическая сортировка взятого образца на ситах (1000 см<sup>2</sup>) дает распределение по фракциям и по составу, указанное в табл. 3.

Необходимо отметить, что в общем составе отложений валосов находились тряпичи, мочало и другие длинные волокнистые вещества, перемешанные с общей массой, которые в исследуемый образец не были взяты.

Из табл. 3 видно, что тяжелые донные валосы в канализационных каналах и трубах в большей своей части состоят из песка (до 80%). Чем меньше фракции

Таблица 3.

Размер частиц в лм	% по объ- ему	Содержание минераль- ных веществ в %	Состав отложений
Свыше 10 . . . . .	3,50	—	Битое стекло, гра- вий, каменный уголь, кирпич, кости, пуго- вицы, скорлупа оре- хов, косточки фруктов и др.
От 5 до 10 . . . . .	3,50	70,60	Стекло, кости, ка- менный уголь и др. То же
» 3 » 5 . . . . .	4,50	79,17	Стекло, кирпич, зер- на и острые кости
» 2 » 3 . . . . .	3,00	83,24	Песок, кирпич, уголь и кости
» 1 » 2 . . . . .	7,00	90,20	Песок — обломки от- дельных минералов
» 1/2 » 1 . . . . .	9,00	95,90	Песок
M 1/4 » 1/2 . . . . .	33,00	88,44	Песок
«гено 1/4 . . . . .	36,5	98,38	Песок

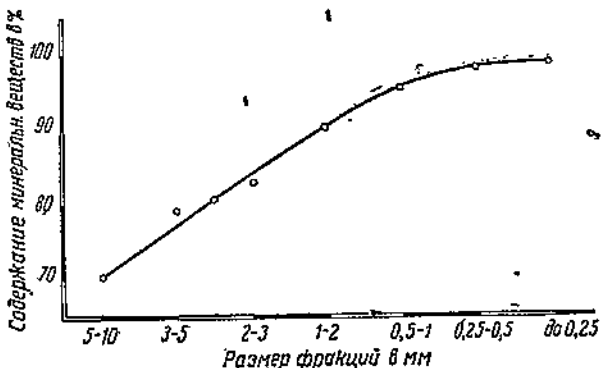


Рис. 4. Кривая содержания минеральных веществ в зависимости от размера фракций осадка.

осадка, тем больше в них песка и меньше органических] веществ. Кривая содержания неорганических веществ в зависимости от размера фракций осадка приведена на рис. 4.

## 2. Движение донных напосов

Движение донных напосов в канализационных каналах происходит в основном подобно перемещению речных напосов.

На основании наблюдений за донными напосами в канализационных каналах и трубах можно сказать, что напосы этого рода обычно в местах с недостаточными промывающими скоростями лежат на дне неподвижно, и только верхний их слой подвергается смыву (движется). При замере скорости течения, расходов и расположения напосов в каналах московской канализации в течение суток, наблюдается картина, представленная в табл. 4;

Таблица 4

Часы наблюдений	Верхний канал			Главный нижний канал		
	$d = 1,38 \text{ м}$ 17/18 августа 1984 г.			$d = 1,26 \text{ м}$ 28/29 июля 1984 г.		
	Слой наносов в м	Скорость течения $v$ в м/сек	Расход $Q$ в $\text{м}^3/\text{сек}$	Слой наносов в м	Скорость течения $v$ в м/сек	Расход $Q$ в $\text{м}^3/\text{сек}$
1	2	3	4	5	6	7
9	0,07	0,632	0,951	0,07	0,383	0,458
10	0,06	0,568	0,839	0,15	0,347	0,402
11	0,08			0,15		
12	0,06	0,573	0,853	0,23	0,335	0,370
13	0,06			0,21		
14	0,06			0,25	0,393	0,422
15	0,08	0,577	0,845	0,18		
16	Нет					
17	"	0,601	0,901	0,17	0,352	0,409
18	"			0,07		
19	0,04	0,582	0,865	0,13	0,369	0,433
20	Нет			0,16		
21	0,04	0,556	0,841	0,10	0,346	0,415
22	0,05			0,22		
23	0,05	0,591	0,875	0,16	0,356	0,407
24	0,09			0,16		
1	0,15	0,624	0,888	0,19	0,273	0,308
2	0,07					
3	0,09	0,630	0,911	0,13	0,467	0,439
4	0,08					
5	0,06	0,658	0,780	0,17	0,394	0,332
6	0,06					
7	0,06	0,612	0,782	0,14	0,403	0,354
8	0,05					

Подобное состояние наносов наблюдается везде, где только имеется, хотя и небольшой, их слой, лежащий на дне. Но параллельно наблюдается и другой вид влечения наносов, составляющий переходную стадию к процессу извешивания. Картинка такого влечения наносов схематически изображена на рис. 5.

Вдоль дна наблюдается движение полуизвешенных частиц сильно разжиженного песка или ила с малой скоростью в плоскости  $h-h$  и приближающейся к нулю скоростью в плоскости  $O-O$ .

Вследствие неправильной поверхности и формы как катящихся частиц, так и «локок», состоящего из таких же частиц, величина трения при движении донных наносов не является постоянной; поэтому скорости движения частиц носят прерывистый характер. Средняя скорость движения в потоке наносов всегда меньше скорости самого потока.

Над слоем более крупных примесей в канализационных каналах движется слой из более мелких илистых частиц, который работниками московской канализации называется «жидцелью». Наличие жидкости имеет большое значение в отношении воздействия сноса остатков течения потока на скользкие донные наносы. По данным Аме-

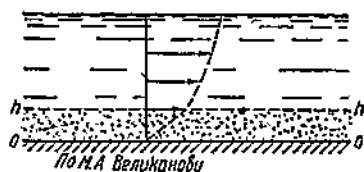


Рис. 5. Полувзвешенный придонный слой.

риканского института общества инженеров строителей приводим табл. 5 размывающих скоростей для каналов.

Таблица 5

Грунт ложка	Размывающие скорости течения в м/сек		
	при чистой воде	когда в воде содержится или	когда поток несет песок и гравий
1	2	3	4
Мелкий зернистый песок не коллоидальный . . . . .	0,45	0,75	0,45
Суглинок — то же . . . . .	0,53	0,75	0,60
Илистая глина . . . . .	0,60	0,90	0,60
Ил . . . . .	0,60	1,05	0,60
Обыкновенная глина . . . . .	0,75	1,05	0,70
Мелкий гравий . . . . .	0,75	1,50	1,10
Глина коллоидальная . . . . .	1,10	1,50	0,90
Ил коллоидальный . . . . .	1,10	1,50	0,90
Грубый гравий . . . . .	1,20	1,80	1,95

Из таблиц видно, что содержание в водезвешенных мелких веществ уменьшает ее размывающее действие. На этом основании данные о размывающих скоростях, указанные в литературе применительно для рек и ирригационных каналов, не могут быть приняты в полной мере в канале из-за наличия в сточных водах большого количества коллоидальных илилистых частиц, уменьшающих размывающую способность потока. Поэтому сточные воды обладают большой способностью к образованию донных отложений.

Образование плотных, плохо размываемых наносов особенно способствуют находящиеся в сточных водах тряпье, мочало, бумага и некоторые другие волокнистые отбросы. Достаточно небольшого препятствия на дне канала — лежащего камня, гвоздя или кости, попавших в стык труб или шов кладки, смешанием венчевьес труб и т. п., как отбросы указанного рода цепляются за встречающиеся препятствия и задерживаются, образуя небольшие подпруды. Вслед за этим у образованвшейся подпруды происходит отложение других влекомых по дну веществ. Образовавшийся слой может быть вторично прикрыт тряпками, бумагой и в результате передки случаев образования донных наносов в каналах и трубах даже в местах с самоочищающейся скоростью  $v$  величиной 0,80 м/сек и больше. Средняя скорость течения может быть при этом различна и она показательна только для водной массы потока, но не для передвижения наносов.

Если рассматривать осадки на дне канала как подвижное ложе, а расположенный над ними водной столб как одно целое, то оказывается, что водная масса движется значительно быстрее, чем насыпь, который волочится по лотку канала, как бесконечно длинный, гибкий и тяжелый покров.

Для передвижения уложившихся отложений необходимо значительное увеличение живой силы потока, чтобы она могла превысить сопротивление насыпного покрова размыву.

### 3. Расположение донных наносов в поперечном разрезе потока в канале

Поперечное распределение наносов в естественных руслах зависит главным образом от горизонтальной конфигурации русла и от распределения в нем скоростей течения и мало зависит от формы русла.\*

Расположение наносов в канализационных каналах, наоборот, зависит от формы поперечного сечения канала. В каналах овально-дальнего сечения насыпь идет по широким, а толстым слоем. В каналах круглого сечения осадки располагаются слоем более широким, но меньшей толщины. Расположение насыпей зависит также от распределения скоростей течения,

В канале овондального сечения при высоте его  $H = 1,22$  м наблюдалось распределение наносов в потоке, изображенные на рис. 6. Вследствие поворота канала произошло смещение динамической оси скоростей течения, где наносы расположились соответственно скоростям. Из рис. 6 видно, что донные наносы в свою очередь влияют на распределение скоростей течения в придонном слое. На рис. 6 показаны построенные на основании замеренных скоростей в различных точках канала «настахи», т. е. кривые равных скоростей отдельных струй потока. Наибольшее отклонение изотах наблюдается в середине потока; причиной этого явления служат наличие значительной шероховатости ложка и присутствие в осадке крупных веществ (тряпок и других отбросов).

На рис. 7 показано расположение изотах в круглом канале диаметром  $d = 1,37$  м, при средней скорости течения  $v_{cp} = 0,60$  м/сек.

Приведенные примеры улавливают, что средние расчетные скорости, применяемые при расчете канализационных каналов, бывают недостаточны для смысла

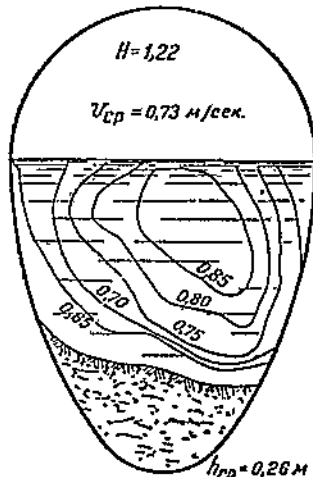


Рис. 6. Овондальный канал.

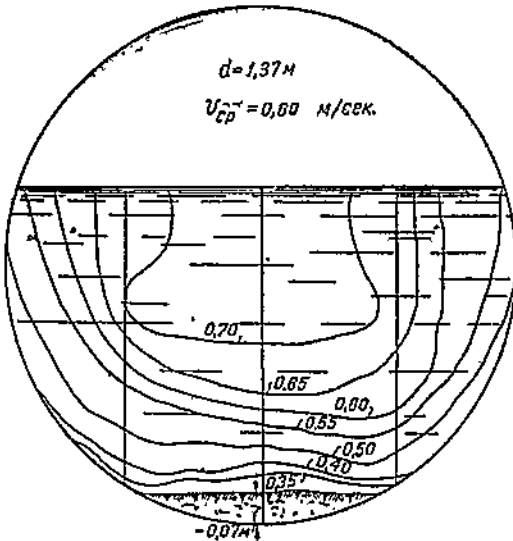


Рис. 7. Круглый канал.

донных отложений. Вопрос о том, какие скорости наблюдаются у стенок и дна каналов, до настоящего времени окончательно не выяснен. Трудность окончательного разрешения этого вопроса коренится прежде всего в том, что существующими измерительными приборами можно измерять скорость лишь на некотором расстоянии, а не непосредственно у самых стенок канала.

#### 4. Расположение донных наносов в продольном разрезе потока в канале

Первоначальные отложения наносов появляются прежде всего непосредственно у каких-либо препятствий. Отложения происходят не сразу на большом протяжении, а лишь на тех участках, где скорости потока замедляются и оказываются недостаточными для переноса твердых частиц. В результате осаждения взвешенных частиц создается как бы «новое дно» с увеличенной шероховатостью. Вследствие этого скорости течения еще уменьшаются, и уменьшается их влекущая способность; сверху продолжает поступать новое количество донных наносов, первоначальные отложения постепенно увеличиваются, и процесс продолжается до тех пор, пока не создастся такой подпор, при котором скорости потока поверх образовавшихся отложений будут достаточными для размыва отложений. Как отмечает Шоклин [11], здесь происходит движение наносов, подобное

характеру продвижения устьевой дельты реки, когда «голова» отложений скользит вниз по течению, образуя опадающие головные откосы. Процесс поднятия дна заканчивается тогда, когда вновь стабилизируются условия, при которых наносы будут проходить непрерывным потоком через все ранее образовавшиеся отложения. Уровень воды в этом случае будет параллельным уклону дна, и движение потока снова приобретает характер равномерного движения.

Примером такого отложения наносов может служить Люблинский загородный канал овoidalного сечения  $H = 1,626 \text{ м}$ , имеющий постоянный уклон  $i = 0,0004$ . В указанном канале донные наносы, начиная от смотрового колодца № 0 и примерно до середины между колодцами № 23—24, общим протяжением 3700 м, лежат почти непрерывным слоем. Поверхность слоя наносов представляет собой волнообразную форму. Толщина слоя осадков уменьшается по мере удаления от города.

Начиная от колодца № 23—24, наносы встречаются сравнительно редко и то в виде отдельных перекатов в разных местах по каналу. Чистка канала производится ежегодно и при каждой чистке наблюдается одна и та же картина расположения наносов.

Данные наблюдений за скоростями течения и за расположением наносов в Люблинском загородном канале приведены в табл. 6.

Таблица 6

Часы наблюдений	Колодец № 0. 17/18 августа 1984 г.			Колодец № 24. 15/16 июля 1984 г.		
	Слой наносов в м	Скорость течения $v$ в м/сек	Расход $Q$ в $\text{м}^3/\text{сек}$	Слой наносов в м	Скорость течения $v$ в м/сек	Расход $Q$ в $\text{м}^3/\text{сек}$
9	0,17	0,815	1,040			
11	0,12	0,821	1,064			
13	0,12	0,839	1,088	0,05	0,827	1,088
15	0,12	0,880	1,143			
16				0,05	0,821	1,072
17	0,12	0,851	1,106	0,05	0,817	1,079
18				0,05	0,827	1,093
19	0,12	0,856	1,112			
20				0,05	0,814	1,040
21	0,14	0,870	1,112			
22				0,05	0,791	0,972
23	0,12	0,829	1,075			
24				0,05	0,825	0,950
1	0,12	0,839	1,088			
2	0,12			0,05	0,790	0,923
3	0,16	0,815	1,044			
4				0,08	0,831	0,977
5	0,12	0,815	0,958			
6				0,11	0,827	0,899
7	0,13	0,825	0,999			
8				0,10	0,831	0,977
				0,10		

Чистка канала весной 1984 г. показала, что в канале ниже впадения в него дамба газового коллектора, принимающего сточные воды от расположенных на нем нефтеперегонных заводов, донные наносы как бы скементированы нефтяными остатками настолько, что при чистке совком почти не размыкаются.

Иное расположение донных наносов наблюдается в Люблинском загородном канале. Этот канал имеет длину 6552,14 м в напорной части и 12812,66 м в самотечной. Вся сточная жидкость проходит через насосную станцию. Канал в само-

Таблица 7

пачкой части имеет круглую форму диаметром  $d = 1,98$  м и уложен с уклоном  $i = 0,00025$ , отдельные же его участки диаметром  $d = 1,22$  м уложены с уклоном  $i = 0,0035$  м.

Наносы в Люберецком канаве образуются ближе к полям фильтрации и находятся в зависимости от количества поступающих сточных вод. По мере увеличения притока сточных вод под годами, а следовательно и увеличения скоростей течения, наносы из года в год меняются по величине их слоя, и скопления их все время смещаются ближе к полям фильтрации.

В табл. 7 приводятся данные по притоку сточных вод на Люберецкие поля фильтрации по годам.

Для выяснения зависимости величины слоя наносов от притока сточных вод в табл. 8 приводим данные осмотра канала, с указанием распределения наносов.

Годы	Приток в тыс. м³
1920 . . . . .	8 768
1923 . . . . .	11 224
1924 . . . . .	14 703
1925 . . . . .	16 562
1926 . . . . .	19 235
1927 . . . . .	19 966
1932 . . . . .	45 837
1934 . . . . .	49 421

Таблица 8

№ смотрового колодца	Годы осмотра канала и слой наносов (в м), считая от дна лотка							
	1920	1923	1924	1925	1926	1927	1932	1934
1	2	3	4	5	6	7	8	9
10	0,00	0,10	0,00	0,00	0,00	0,00	0,00	0,00
11	0,00	0,04	0,00	0,00	0,00	0,00	0,00	0,00
12	0,00	0,04	0,00	0,00	0,00	0,00	0,00	0,00
13	0,08	0,04	0,00	0,00	0,00	0,00	0,00	0,00
14	0,05	0,00	0,00	0,00	0,00	0,00	0,00	0,00
15	0,05	0,00	0,00	0,00	0,00	0,00	0,00	0,00
16	0,09	0,00	0,00	0,00	0,00	0,00	0,00	0,00
26	0,03	0,00	0,00	0,00	0,00	0,00	0,45	0,00
27	0,03	0,00	0,00	0,00	0,00	0,00	0,00	0,00
28	0,03	0,00	0,00	0,00	0,00	0,00	0,00	0,00
29	0,07	0,00	0,95	0,00	0,00	0,00	0,40	0,20
29a	0,14	0,16	0,25	0,26	0,28	0,20	0,14	0,10
30	0,16	0,16	0,20	0,22	0,28	0,20	0,10	0,10
31	0,17	0,16	0,22	0,30	0,26	0,03	0,10	0,00
32	0,17	0,16	0,23	0,22	0,23	0,03	0,00	0,00
33	0,16	0,16	0,18	0,26	0,26	0,03	0,00	0,00
34	0,16	0,16	0,15	0,19	0,26	0,03	0,00	0,00
35	0,12	0,10	0,14	0,14	0,26	0,03	0,00	0,00
36	0,11	0,16	0,13	0,13	0,17	0,03	0,00	0,00
37	0,12	0,10	0,13	0,16	0,15	0,12	0,04	0,00
38	0,11	Поднор от камни.	0,11	0,12	0,17	0,10	0,04	0,08
39	0,10	0,11	0,11	0,15	0,14	0,08	0,09	0,00
41	0,12	0,12	0,10	0,12	0,12	0,09	0,09	0,00
52	0,16	0,12	0,11	0,16	0,19	0,10	0,09	0,00
43	0,14	0,12	0,12	0,12	0,45	0,10	0,07	0,00
44	0,00	0,00	0,00	0,00	0,00	0,00	0,00	0,00
45	0,13	0,12	0,12	0,10	0,10	0,13	0,12	0,05
46	0,13	0,12	0,10	0,10	0,17	0,20	0,14	0,05
47	0,16	0,12	0,10	0,13	0,15	0,20	0,20	0,05

П р и м е ч а н и е. Нумерация смотровых колодцев указанных выше каналов идет от Москвы, и расстояние между колодцами в среднем равно 210 м.

Рассматривая движение тяжелых частиц осадков у дна потока в канале, следует отметить, что движение отдельных частиц (зерен) происходит скачкообразно.

Отдельные зерна, подхватываемые токами донных вихрей, поднимаются на известную высоту над дном, тем большую, чем меньше зерна и чем больше средние скорости потока, и затем опускаются на дно. Коснувшись дна, зерно никогда проходит некоторый путь перекатыванием, также в сущности являющимся скачкообразным движением (с подъемами малой высоты и вращением зерен), затем вновь подхватывается токами донных вихрей и вспениваются. Таким образом общепринятое понятие о донных наносах, якобы движущихся только по дну, является условным. Таких зерен, которые бы двигались правильно по дну потока, в сущности нет, однако условное деление транспортируемых потоком наносов на «взвешенные» и «донные» все же необходимо.

Приведенной выше картине движения наносов дает объяснение иявление пульсации взвешенных наносов в некоторых точках потока. И действительно, наблюдения показывают, что при отборе проб наносов с определенных точек потока на графике изменения содержания взвешенных наносов по времени получается типичная кривая пульсации потока с ее максимумами и минимумами скоростей. Поэтому изыскание мероприятий по борьбе с отложением твердых наносов в каналах должно одновременно ити как по линии разработки рациональных гидравлических решений, так и по линии разработки специальных механизмов для очистки каналов.

## 5. Вред от донных наносов и борьба с ними

Наносы в канализационных каналах и трубах являются нередко причиной их засорения, поэтому при эксплуатации сети постоянно приходится заниматься прочисткой и удалением отложений, что сильно усложняет и удороаживает эксплуатацию сети.

Нередки случаи полного засорения каналов тяжелыми наносами, при которых приходится перекладывать отдельные участки сети, с изменением уклонов и диаметров труб.

Крупные минеральные частицы, попадающие в каналы, истирают как облицовку, так и самую кладку каналов, особенно в местах резкого изменения конфигурации канала. Так, при осмотре Люберецкого загородного канала в 1934 г. вследствие больших скоростей течения и наличия в сточной жидкости твердых веществ (битый кирпич) наблюдалось истирание лопаток в канале диаметром  $d = 1,22$  м. Характерно, что кирпич истирается в большей мере, чем цементные швы (рис. 8).

На насосных станциях возможны случаи истирания песком колес центробежных насосов, перекачивающих сточную жидкость. Это вызывает потерю мощности насосных установок и сокращает срок их службы. Из опыта эксплуатации гидростанций известно, что частицы песка крупностью зерен 0,25—0,50 мм быстро истирают рабочие колеса турбин.

Дюфур [16], пропавшийший измерения на установке гидростанции Акерлан, обнаружил, что после 46-месячной работы турбины коэффициент полезного действия ее уменьшился больше чем на 25%. Для борьбы с наносами был устроен отстойник, после чего в деривацию стали попадать только мелкие частицы не более 0,4 мм. В результате истирание лопаток турбин резко изменилось: до устройства отстойника оно составляло 6—7 м.м. за год, после устройства отстойника уменьшилось до 1,8 м.м.

Во избежание чрезмерных затрат на очистку каналов от наносов необходимо принимать меры для задержки и удаления наносов из сточных вод. В каждом отдельном случае должен быть решен вопрос о круизности и количестве наносов, которые могут быть допущены в канализационную сеть и во все последующие сооружения, в зависимости от чего необходимо предусматривать соответствующие мероприятия на самих каналах.

Тяжелые примеси вызывают также большие затруднения при эксплоатации не только каналов, но и очистных сооружений, поэтому там и нашли себе применение песколовки.

## 6. Требования к песколовкам

При проектировании и постройке песколовок следует иметь в виду следующие предъявляемые к ним требования.

1. Возможное полное задержание тяжелых веществ, всегда имеющихся в сточной жидкости.

2. Неосаждение в песколовках мелких органических веществ — осадка.

3. Возможность удаления отложений из песколовок без перерыва работы канала и песколовки.

4. Возможность установки песколовок на каналах не только перед очистными сооружениями, но и на самой канализационной сети.

5. Простота конструкции, легкость, безупречность удаления отложений в санитарном отношении.

## Глава 3. ОБЗОР КОНСТРУКЦИЙ СУЩЕСТВУЮЩИХ ПЕСКОЛОВОК

С уменьшением скорости течения сточной жидкости начинается выпадение из нее осадка.

Уменьшение скорости в песколовках достигается путем увеличения живого сечения потока, и первоначальные типы песколовок представляют собой расширенные и углубленные каналы различной формы и размеров (рис. 9).

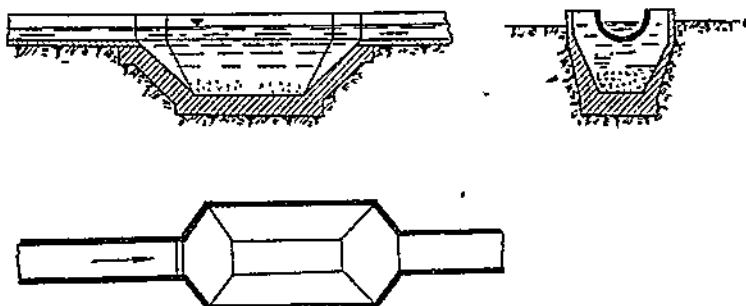


Рис. 9. Схема горизонтальной песколовки.

При выборе типа песколовки встает вопрос в определении необходимой длины ее, которая в свою очередь зависит от количества содержащихся в сточной жидкости тяжелых веществ, от заданной скорости движения жидкости, времени пребывания жидкости в песколовке, а также от способов удаления из нее песка.

В Германии встречаются старые песколовки круглого типа (рис. 10). Эти песколовки представляют собой два цилиндра (колодца), концентрически вставленные один в другой (рис. 11).

Сточная жидкость поступает сначала в наружный колодец и двигается направо и налево вокруг внутреннего; благодаря уменьшению скоростей движения содержащиеся в жидкости тяжелые вещества оседают на дно, устроенное с уклоном к середине колодца. Осевшие вещества сползают через окна в коническую часть внутреннего колодца песколовки, откуда удаляются грейфером.

Обычно строят песколовки из двух секций (рис. 11), действующих периодически: одна работает, вторая в это время освобождается от песка (рис. 12).

Заслуживает внимания песколовка системы Имгофа, разделенная продольными перегородками на три части, из которых каждая достаточна для пропуска всей поступающей сточной жидкости. Приток и отвод жидкости в всех отделениях общие, и в дни каждого отделения проложен дренаж. Дренажные трубы,

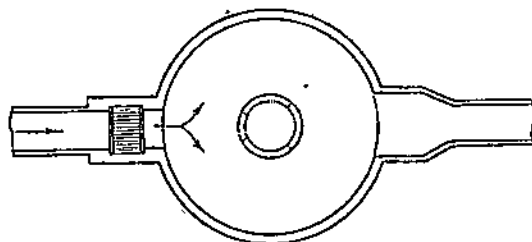
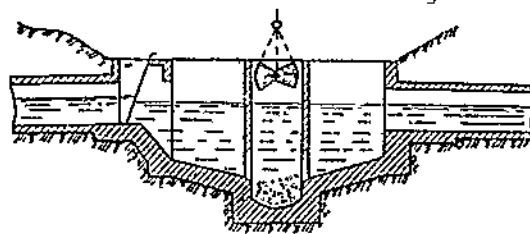


Рис. 10. Песколовка круглого типа.

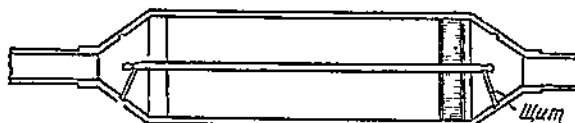
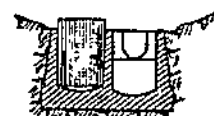


Рис. 11. Двойная горизонтальная песколовка.

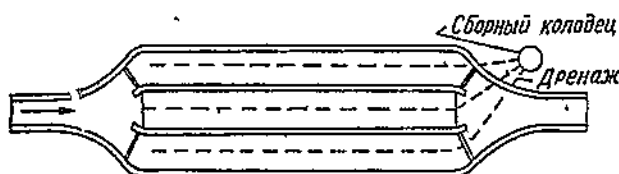
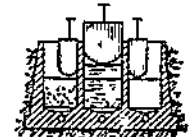
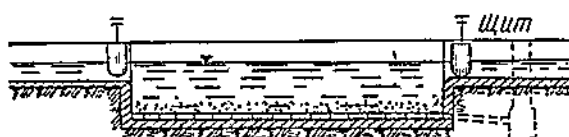


Рис. 12. Горизонтальная песколовка с тремя отделениями.

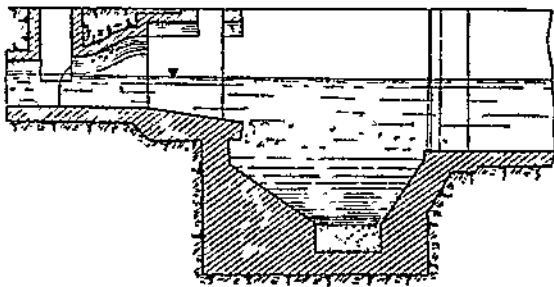


Рис. 13. Песколовка в г. Кельне.

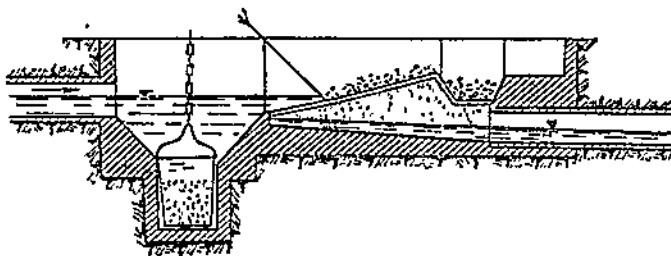


Рис. 14. Удаление песка ведрами

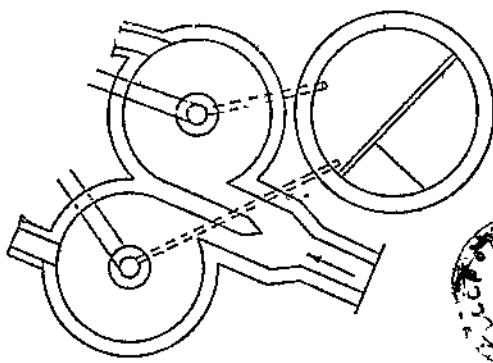
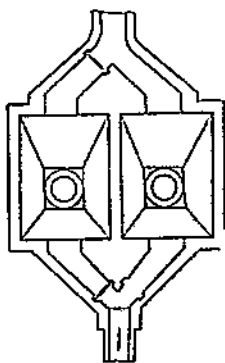
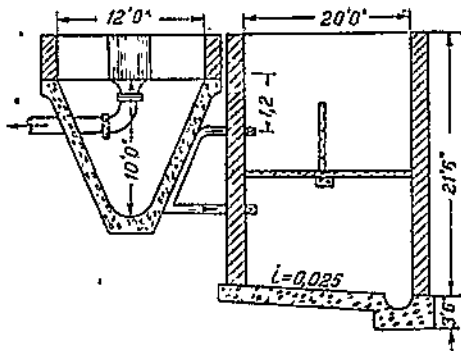
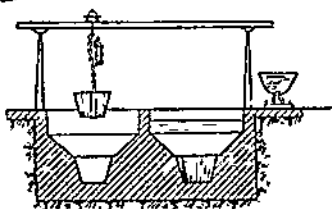


Рис. 15. Удаление песка ведрами о друмяя отделениями.

Рис. 16. Индийская песколовна.



снабженные запорными вентилями, выведены отдельно из каждого отделения в общий сборный колодец.

Во время работы какой-либо секции песколовки ее дренажная сеть остается закрытой. Когда отделение в достаточной мере заполнится осевшим песком, оно с обеих сторон закрывается щитами, сточную же жидкость направляют через соседнее отделение. После выключения секции из работы открывают задвижку на дренажной трубе, и вода стекает из выключенной секции в сборный колодец.

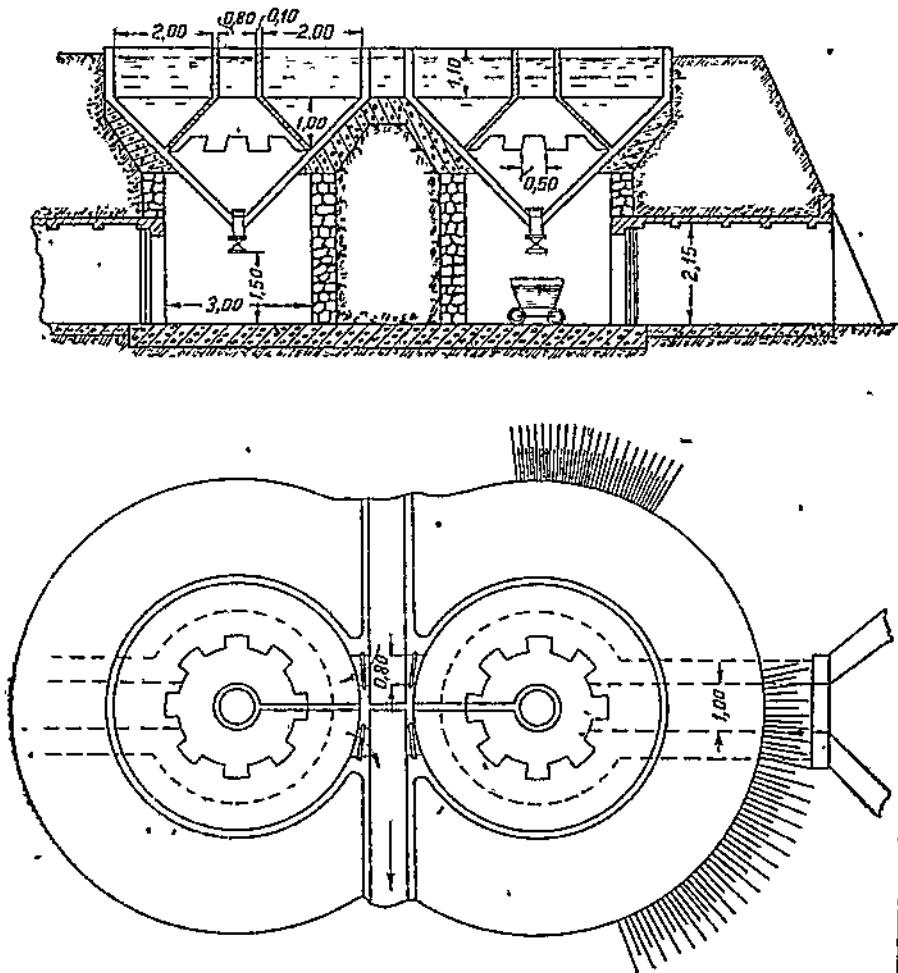


Рис. 17. Тульская песколовка.

По заполнении песком второго отделения оно выключается, и пускается в работу третью. В такого рода песколовках (рис. 12) одновременно одно отделение находится в работе, в другом обезвоживается песок, в третьем его удаляют из песколовки.

На рис. 13 изображена песколовка в г. Кельне. Вследствие повышения наклонного лотка канала со стороны поступления жидкости в песколовку над лотком выводящего канала органические взвешенные вещества не успевают осаж-

существенно в работе песколовок.

Можно указать еще целый ряд песколовок, разнообразных по конструкции и по способам удаления из них песка.

На рис. 14 указана песколовка, где удаление песка производится с помощью ведра, опускаемого в специально устроенный приемник. Применение ведер заставляет песколовки делать двойными (рис. 15), так как на время подъема ведра для опорожнения отделение песколовки, из которого ведро вынимается, должно быть выключено из работы.

На рис. 16 показана песколовка, применяемая в Индии. Жидкость, поступающая в песколовку, движется по спирали. Освобожденная от тяжелых примесей жидкость через трубу, устроенную в центре, отводится из очистных сооружений. Удаление песка производится самотеком через трубы в специально устроенный резервуар, разделенный перекрытием на два отделения.

В зависимости от состава и от влажности оседающих осадков последние могут направляться или в верхнее или в нижнее отделение резервуара.

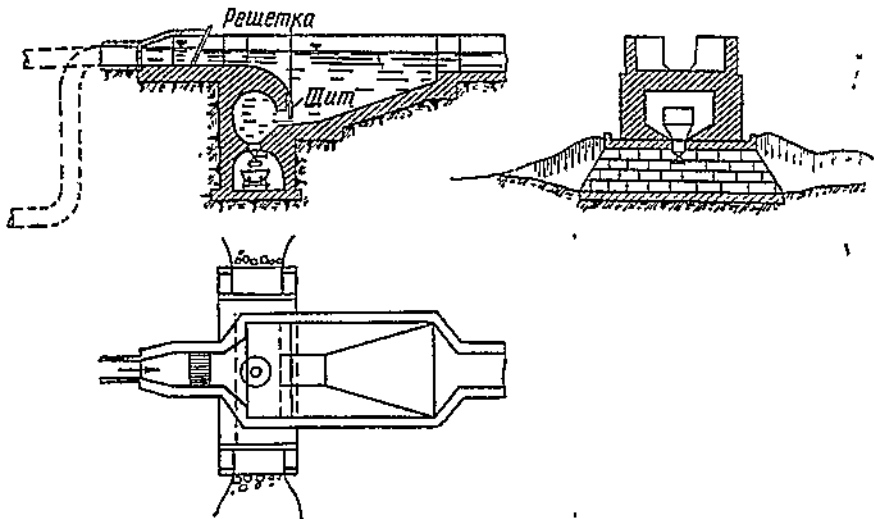


Рис. 18. Тоннель под песколовками.

Подобным образом построена песколовка в г. Туле, где движение жидкости происходит по кольцевому каналу (рис. 17). У дна канала устроены отверстия, через которые оседающий песок проваливается в конический приемник. Из приемника песок выпускается через специальные трубы, снабженные задвижками. Высота расположения песколовок позволяет выпускать самотеком склоняющиеся в конических приемниках песок в вагонетки и отвозить его по тоннелю, расположенному под песколовками. Подобного же типа песколовка изображена на рис. 18.

Во всех указанных выше песколовках движение жидкости происходит в горизонтальном направлении.

Совершенно своеобразна по конструкции песколовка Блуинса с вертикальным движением жидкости (рис. 19).

Песколовка Блуинса представляет собой как бы ряд цилиндров, вставленных один в другой и разделенных радиальными перегородками. Эти цилиндры имеют разные высоты, чем достигается саморегулирование скорости движения жидкости в песколовке.

Каждому расходу жидкости в подводящем канале соответствует свое наполнение, в силу чего по закону сообщающихся сосудов и происходит перелив жидкости через соответствующие по высоте секции песколовки. Размеры секций подобраны с таким расчетом, что каждому расходу соответствует определенная

действующая площадь живого сечения. Благодаря такой конструкции песколовка при всех расходах работает с постоянной установкой расчетом скоростью. Песколовка своеобразна также и по способу удаления из нее песка с помощью эрлифта.

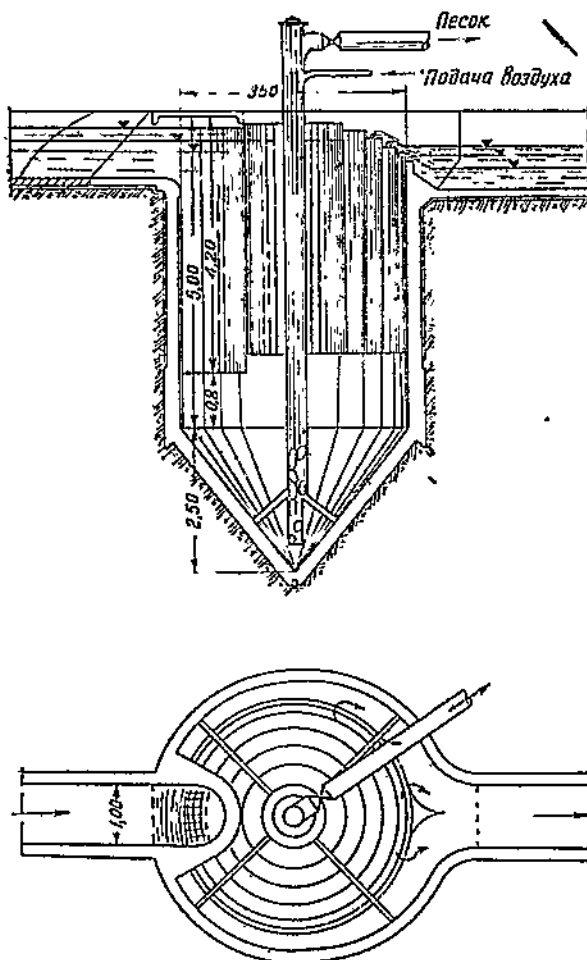


Рис. 19. Песколовка Блунка.

Для беспрерывной работы очистных сооружений число песколовок должно быть не менее двух.

Резервуары песколовок обыкновенно делаются из кирпича, бетона и желецобетона.

### 1. Расчет песколовок и работа их

Зная расход сточных вод и задаваясь средней скоростью течения сточной жидкости в песколовке, находят площадь поперечного сечения ее по формуле:

$$w = \frac{Q}{v},$$

где:  $w$  — площадь живого сечения песколовки в  $m^2$ ;

$Q$  — расчетный расход в  $m^3/sec$ ;

$v$  — средняя скорость течения в  $m/sec$ .

Глубина песколовки определяется практическими соображениями.

Численные значения скорости течения в песколовках различны у разных авторов и колеблются от 0,10 до 0,30  $m/sec$ .

По нормам НККХ принимается:

- скорость в песколовке при максимальном расходе не более 0,30  $m/sec$  и не менее 0,05  $m/sec$  при минимальном расходе;
- премия прохода жидкости по песколовке при максимальном расходе не менее 30 сек.

Песколовки рассчитываются на скорость движения в них жидкости 0,30  $m/sec$ ; при этой скорости взвешенные вещества минерального происхождения осаждаются, прочие же вещества, преимущественно органического происхождения, проносятся сточной жидкостью.

Время пребывания жидкости в песколовках принимается разными авторами от 0,5 до 2,0 мин. Поэтому длину песколовок рассчитывают по формуле:  $l = v \cdot t \cdot 60$ , где  $t$  — время пребывания жидкости в песколовке в минутах.

Так как приток сточных вод в течение суток не равномерен, то в часы малого притока скорость в песколовках будет уменьшаться и может дойти до такого предела, при котором начнется вынужденное взвешивание органических веществ, что весьма нежелательно. Поэтому, кроме вышеизложенного расчета, необходимо проверить песколовку на минимальную скорость.

Как доказано опытами Штейнергейса (Кельн), Шульца (Прага), инж. А. И. Жукова (Москва), предельной минимальной скоростью следует считать  $v = 0,05 m/sec$ .

Необходимо также принять во внимание при определении длины песколовок, что характер осаждения твердых веществ, содержащихся в сточной жидкости, зависит от формы и состава отдельных составных частиц. Обычно различают два вида частиц: а) вершинистые и б) хлопьевидные.

Вершинистые вещества, осаждаясь, не изменяют своего объема и веса. Ускорение силы тяжести во время их осаждения уравновешивается сопротивлением воды, вследствие чего осаждение каждой отдельной частицы происходит равномерно, т. е. скорость осаждения остается постоянной.

Иначе обстоит дело с хлопьевидными частицами, которые при осаждении сталкиваются и слипаются в более крупные хлопья. Объем и вес частиц, таким образом, увеличиваются, и движение их плавающих приобретает некоторое ускорение. Следовательно, чем длиннее песколовка, тем менее правильно ее действие вследствие осаждения хлопьевидных веществ, которые, как правило, не должны задерживаться в песколовках.

Количество осадков, задерживаемое песколовками, колеблется в широких пределах. Эти колебания зависят от целого ряда факторов: системы канализации (общесплавная или раздельная), протяженности канализационной сети, конструкции песколовок, скоростей движения и пр.

В литературе по данному вопросу не имеется достаточно точных указаний, позволяющих заранее установить количество осадков для расчета проектируемых песколовок. Поэтому до сих пор проектировщики повторяют конструкции уже работающих сооружений или же вводят изменения, руководствуясь не столько опытами, сколько интуицией.

Количество твердых веществ, задерживающихся в песколовках, различными авторами принимается на 1000  $m^3$  сточной жидкости: по Дуйбару 0,010  $m^3$  в сутки; по проф. В. Ф. Иванову от 0,010 до 0,020  $m^3$  в сутки; по данным компании Дорра 0,015  $m^3$  при общесплавной системе канализации и при крупности песка свыше 0,2  $mm$ . По нормам НККХ количество осадка в песколовках, отнесенное к одному человеку, пользующемуся канализацией, принимается в 0,03  $m^3$  в сутки при удельном весе осадка в 2,00.

Влажность осадка в песколовках (в %) по разным данным такова:

в Рурском районе (Германия)	40
по Баббиту (Америка)	45
по нормам НККХ	50
по опытам на Люберецких полях фильтрации	50—60

## 2. Недостатки существующих песколовок

Песколовки обычного типа имеют ряд недостатков, к числу которых следуют отнести:

1) относительно большие размеры песколовок и большую строительную стоимость;

2) почти полную невозможность устройства песколовок на каналах с большими расходами воды в пределах города;

3) задержание вместе с песком грязевых осадков органического происхождения — мочала, трапон и др., что вызывает затруднения при утилизации песка;

4) трудность механизации и беспрерывной эксплоатации.

Перечисленные недостатки в значительной мере задерживали устройство песколовок на очистных сооружениях и насосных станциях.

## 3. Принцип улавливания песка щелью

Наблюдения над характером движения песка по каналам и лоткам позволяют утверждать, что основная масса песка и других тяжелых веществ движется по дну подобно перемещению речных наносов. Отсюда у проф. С. Н. Строганова возникла мысль выделить из сточной жидкости песок при помощи поперечной

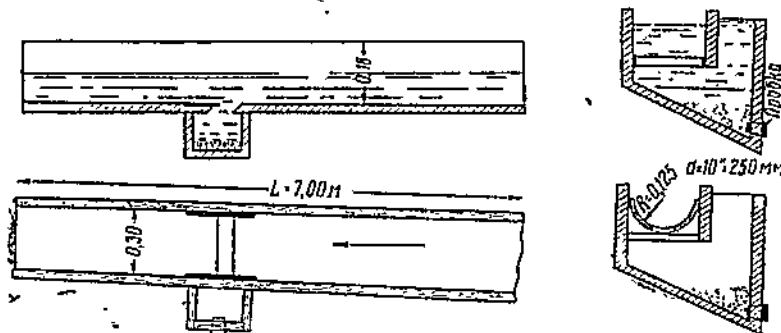


Рис. 20. Щелевая песколовка.

щели, устроенной в дне канала или лотка. Эксперименты в этом направлении были поставлены в лаборатории Люберецких полей фильтрации треста Мосочиствод на специально устроенных моделях, пропускавших до 30 л воды в секунду.

Были испытаны два типа моделей:

1) прямоугольный лоток сечением  $0,30 \times 0,18$  м и длиной 7,0 м;

2) труба диаметром 250 мм и длиной 5,0 м.

Первая модель испытывалась на дренажной воде, вторая на сточной жидкости. Тип моделей представлен на рис. 20.

При разных скоростях и расходах жидкости в лоток или трубу вносился чистый сортированный песок определенной крупности. Испытывались фракции песка: от 0,1 до 1,4, от  $\frac{1}{4}$  до  $\frac{1}{2}$ , от  $\frac{1}{2}$  до 1 и от 1 до 2 мм.

Опыты ставились при скоростях течения от 0,50 до 1,70 м/сек при ширине щели 7 и 11 см.

Результаты работы песколовки по эффекту задержки чистого песка приведены в табл. 9.

Следующая серия опытов была поставлена в условиях внесения осадка из сточной жидкости, к которому в различных пропорциях прибавлялся песок. В результате песок задерживался в прежних количествах, а осадок в ничтожной степени (около 2%).

Отдельные наблюдения были поставлены над задержкой песколовкой тряпья, взятого из сточной жидкости. Тряпка проносилась над щелью песколовки, не задерживаясь.

Таблица 9

Крупность песка в м.m	Скорость течения в м/сек	% задержания по отношению к внесенному количеству песка	Примечание
До $1/4$	от 0,55 до 0,80	53,9	
От $1/4$ до $1/2$	» 0,62 » 1,70	81,00	
» $1/2$ » 1,0	» 1,25 » 1,83	82,50	
» 1,0 » 2,0	» 0,55 » 1,82	96,50	Процент за- держания сред- ний для серии наблюдений при указанных скоростях и крупности песка

Те же наблюдения были повторены для щели в трубе со сточной жидкостью. Результаты получились те же.

Эти предварительные опыты привели к выводу, что применение щели в каналах и лотках при обычных эксплоатационных скоростях вполне отвечает требованиям, предъявленным к песколовкам — значительный процент задержания песка (53—96) при пропускании грязи и других волокнистых веществ.

Указанные опыты привели к конструкции песколовок очень простого типа, одинаково применимых как перед очистными сооружениями, так и на канализационной сети, что выгодно отличает песколовку со щелью от всех других типов, снаженных громоздкими для использования их на сети.

Уже по окончании указанных наблюдений при детальном просмотре литературы выяснилось, что песколовка этого типа с поперечной щелью была предложена в 1882 г. В. Парье (Франкфурт-на-Майне)<sup>1</sup>, однако мы нигде не встречали указаний на применимость ее на практике, вследствие чего не было никаких данных по работе песколовок со щелью.

#### 4. Намечающаяся конструкция щелевой песколовки

В канале или лотке делается поперечная щель, открывающаяся в приемник, находящийся под лотком или под трубой. Приемник делается с круто наклонным дном, по которому песок сползаает в сборный резервуар, откуда тем или иным способом поднимается на поверхность земли. Присосбленцем для подъема песка могут быть лебедки, коньки и портав как стационарные, так и подвижные. Резервуар (как показано на рис. 21) заполнен водой до уровня, на котором она стоит в канале.

Размеры щелевой песколовки значительно меньше, и оборудование проще, чем для обычных песколовок.

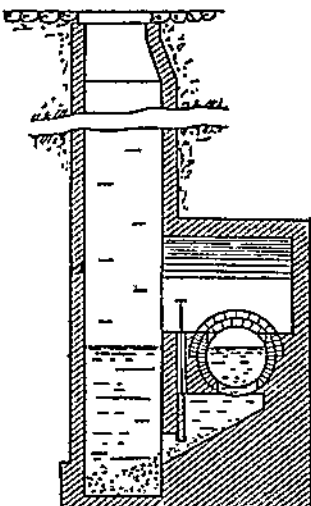


Рис. 21. Щелевая песколовка (конструкция).

<sup>1</sup> М. Ферстер, «Справочная книга для инженеров-строителей», ч. 3, ОНТИ, 1934.

Устройство щелевых песколовок вполне уместно:

1) на отдельных участках канализационной сети. В этом случае на мостовую выходит только крышка специального колодца, в которую во время подъема спускается портня или цепь лебедки с автомобилем;

2) перед очистными сооружениями и самотечными частями загородных каналов;

3) на отдельных петках, подводящих производственные сточные воды, для извлечения песка и других тяжелых веществ (вместо отстойников), недопустимых к спуску в канализацию;

4) перед дюкерами.

Очень вероятна применимость принципа песколовки щели к обработке промышленных сточных вод и в процессах мокрого обогащения руд.

## 5. Принцип действия щелевой песколовки

Основным принципом работы щелевой песколовки является использование разницы в скоростях движения и падения твердых частиц в воде в зависимости от их удельного веса.

Процесс разделения твердых веществ сточной жидкости происходит уже в самом лотке (канале) под влиянием текущей струи воды.

Если отбросить ряд явлений, наблюдающихся в лотке, то можно было бы обозначить выпадение тяжелых веществ через щель разницей как в скоростях

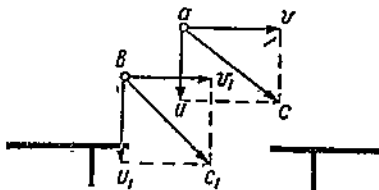


Рис. 22. Схема движения частиц.

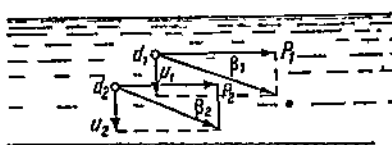


Рис. 23. Схема движения частиц.

продольного перемещения по дну лотка, так и в скоростях падения частиц легких и тяжелых по удельному весу. Если рассматривать движение двух частиц одного размера с разными удельными весами, например, *a* — органическое вещество и *e* — минеральное (рис. 22), при прохождении их над щелью, то частица *a*, обладающая большей скоростью продольного перемещения *v* и меньшей скоростью падения *u*, будет двигаться по направлению равнодействующей скорости *c*, поэтому она пройдет над щелью; частица же *e*, имеющая меньшую скорость продольного перемещения *v*<sub>1</sub> и большую скорость падения *u*<sub>1</sub>, упадет через щель в приемник по направлению равнодействующей скорости *c*<sub>1</sub>.

Наиболее существенным фактором разделения органических и минеральных веществ является наблюдаемый процесс расслоения, вследствие которого минеральные вещества, как наиболее тяжелые, образуют нижний слой, отлагающийся и движущийся непосредственно над органническими же, как более легкими, выжимаются вверх. Это явление вызывается следующими причинами. Допустим, что в потоке воды, текущей по лотку, падают органические и минеральные частицы (рис. 23). Если падению начнется с начальной скоростью, равной нулю, то в начальный момент в потоке каждая частица будет находиться под влиянием двух сил: силы тяжести

$$g_0 = \frac{\pi \cdot d^3 (\gamma_1 - 1) \cdot g}{6}$$

и силы динамического давления текущей струи воды:

$$P = t \cdot d^2 \cdot v^2,$$

где *v* — скорость струи. Направление равнодействующей этих двух сил должно указать начальную траекторию перемещения частицы. Таким образом, мы сможем определить угол *β*, образуемый этой траекторией с направлением потока;

очевидно, что

$$\operatorname{tg} \beta = \frac{g_0}{P} = \frac{\pi \cdot d^3 (\gamma_1 - 1) \cdot g}{6l \cdot d^2 \cdot v^2} = \frac{\pi \cdot d (\gamma_1 - 1) g}{6l \cdot v^2}. \quad (10)$$

Отсюда можно заключить, что угол  $\beta$  будет тем больше, чем больше удельный вес данной частицы. Если размеры обеих частиц одинаковы, то и силу разницы в удельных весах минеральная частица будет падать в потоке под более крутым углом, чем частица органического происхождения. Однаковый угол падения будут иметь равнопадающие частицы, что вытекает из следующего положения. Если  $d_1$  и  $\gamma_1$  — размер и удельный вес органической частицы, а  $d_2$  и  $\gamma_2$  — размер и удельный вес минеральной частицы и частицы имеют одинаковую траекторию падения, то тангенсы падения для них равны:

$$\frac{\pi \cdot d_1 (\gamma_1 - 1) \cdot g}{6l_1 \cdot v^2} = \frac{\pi \cdot d_2 (\gamma_2 - 1) \cdot g}{6l_2 \cdot v^2}$$

или

$$\frac{d_1}{d_2} = \frac{l_1 (\gamma_1 - 1)}{l_2 (\gamma_2 - 1)} = c; \quad (11)$$

это есть условие равнопадаемости частиц в воде.

Благодаря тому, что минеральные частицы направляются при пересечении потока круто вниз, а органические частицы сносятся водой на некоторое расстояние вперед, минеральные частицы скорее будут достигать струй воды, имеющих меньшую скорость, чем скорость на поверхности, раньше выпадут на дно лотка и будут двигаться в придонной части. Проходя над щелью, где отсутствует твердое дно, частицы будут проваливаться вниз. Процесс расслоения тяжелых и легких веществ дополняется также вертикальными токами воды, образующимися среди минеральных частиц (зерен), отлагающихся на дне лотка.

Происхождение вертикальных токов объясняется тем, что струя воды, текущая по лотку, ударясь о тело, лежащее на дне или же медленно движущееся, испытывает сопротивление (рис. 24), в силу чего происходит восходящие токи.

Вертикальные вихревые токи могут выносить вверх более легкие частицы, вызывая расслаивание материала, а также производить отмыкку.

Продольное перемещение минеральных зерен по дну лотка в различных слоях сопровождается с различной скоростью, а именно: верхние слои движутся значительно быстрее, чем нижние. Такой характер движения вызывается не только разницей в скоростях струй воды в лотке, но главным образом взаимным трением частиц друг о друга. Это движение можно сопоставить с течением вязкой жидкости по наклонной плоскости, при котором скорость в каждом отдельном слое может быть выражена, в зависимости от глубины положения данного слоя, формулой:

$$W = \frac{2v \cdot h}{3H} \left( 2 - \frac{h}{H} \right), \quad (12)$$

где:  $W$  — скорость течения в данном слое;

$v$  — средняя скорость течения;

$H$  — глубина потока;

$h$  — расстояние данного слоя от дна.

Формула (12) представляет собой параболический закон распределения скоростей при течении вязких жидкостей.

Явление расслоения и разница в скоростях продольного перемещения различных слоев сточной жидкости в канале создают благоприятные условия для выпадения в щель тяжелых веществ, так как в щель могут выпадать частицы осадков, расположенных в нижнем слое, частицы же, находящиеся в верхних слоях, будут проходить над щелью.



Рис. 24. На дно канала лежит камень.

## Глава 4. ИСПЫТАНИЕ ЩЕЛЕВОЙ ПЕСКОЛОВКИ

### ПЕРВАЯ СЕРИЯ ОПЫТОВ

Рациональность устройства щелевой песколовки заставила поставить изучение этой конструкции на установках эксплоатационного типа.

Для этой цели в 1936 г. щелевая песколовка больших размеров была поставлена на разводной канале Люберецких полей фильтрации, и эксперименты, следовательно, проводились в эксплоатационных условиях.

По своей конструкции люберецкая песколовка представляла собой следующее устройство: в деревянном лотке разводной канавы шириной 0,52 м и высотой 0,46 м в дне было сделано поперечное отверстие (щель) шириной 0,45 м, а под ней приемник с круто наклонным дном, кончающимся сборником.

Щель могла перекрываться деревянным щитком, вставляемым в пазы.

Выпуск жидкости из сборного резервуара производился через отверстие в его нижней части, которое на время наблюдений закрывалось пробкой.

В процессе работ выяснилось, что исследование работы однотипной песколовки не позволяет установить эффективности работы щелевых песколовок ни по выплытию процента задержания твердых примесей из сточных вод, ни по изучению влияния гидравлических факторов на работу щели. Поэтому были поставлены еще две песколовки одинаковой конструкции и размеров, и все три песколовки были расположены следовательно одна за другой на расстоянии 6,25 м друг от друга (рис. 25).

Недостатком опытной установки являлось неизменство уклона разводной канавы перед песколовками, которое получалось вследствие неравномерной просадки дна канавы после ее постройки, что, к сожалению, замечено было не сразу. Вследствие этого скорости течения жидкости над песколовками были различны, что значительно усложнило обработку результатов наблюдений.

### 1. Методика и производство наблюдений

Наблюдения за работой песколовок производились в период 1936 г. следующим образом: в каждый сборный резервуар вставлялся поднимающийся на веревке железный бачок, все щели закрывались щитками; закрывались также и выпускные отверстия в резервуарах. После этого по лотку пускалась сточная жидкость, и замерялись скорости ее течения. Затем щели одновременно открывались, и поддерживался нормальный расход жидкости.

Первоначальные наблюдения проводились над задержкой песка, который в определенных количествах вносился в поток жидкости выше песколовок.

Оказалось, что количество задержанных песколовками тяжелых веществ значительно превышает количество внесенного песка за счет наличия в потоке твердых тяжелых примесей. Количество последних оказалось настолько значительным, что сборный бачок емкостью 0,0184 м<sup>3</sup> заполнялся за 15—20 мин. Затем наблюдения проводились в течение 15—20 мин. без дополнительного внесения песка.

По прошествии установленного срока щели всех песколовок одновременно зашивались, и песколовки выключались из работы. Жидкость из приемников выпускалась, и бачки вынимались со всеми попавшими в них веществами. Количество веществ, задержанных каждой песколовкой, измерялось объемным способом.

Наблюдения проводились при разных наполнениях канала, а следовательно, при разных скоростях течения и расходах сточной жидкости.

Из уловленной песколовками массы отбирались образцы, которые подвергались механической сортировке на ситах на 7 фракций по круниности. В отдельных случаях определялось в пробах содержание минеральных веществ путем прокаливания проб.

## 2. Результаты наблюдений

Процент задержания щелевой песколовкой чистого песка, внесенного в лоток при скоростях течения воды  $v = 1,00 \text{ м/сек}$ , в среднем равняется 70—82 по отношению к внесенному количеству песка.

Количество вносимого песка устанавливалось по объему мерного бачка емкостью  $5610 \text{ см}^3$ . Песок вносился в канаву на расстоянии 25 м выше песколовок из тех соображений, чтобы дать возможность песку осесть и передвигаться по дну. Оказалось, что не весь песок доходил до песколовки, часть его оставалась на дне разводной канавы, поэтому песок стал вноситься в разводную канаву выше песколовок на 12 м. Указанного расстояния при средних скоростях течения оказалось вполне достаточно, чтобы песок осел и передвигался по дну лотка.

Средние результаты из 9 проведенных опытов с искусственным внесением песка приведены в табл. 10, 11, 12.

Таблица 10

Опыт 1. 2/VIII 1935 г.

№ пес- коло- вок	Ширина щели в м	$v_{ср}$ над щелью в м/сек	Внесено песка $\text{см}^3$	Задер- жано песка $\text{см}^3$	Распределе- ние между песколовками задержанного песка в %	Примечание
2	0,15	0,89		2948	70,59	
3	0,15	0,85	5610	4228	29,41	Расход $Q =$ $= 0,097 \text{ м}^3/\text{сек}$

Задержанное количество чистого песка по отношению к внесенному количеству распределяется:

песколовка № 2 — 52,5%,

песколовка № 3 — 21,8%,

не задержано песколовками — 25,7%.

Таблица 11

Опыт 2. 2/VIII 1935 г.

№ пес- коло- вок	Ширина щели в м	$v_{ср}$ над щелью в м/сек	Внесено песка $\text{см}^3$	Задер- жано песка $\text{см}^3$	Распределе- ние между песколовками задержанного песка в %	Примечание
2	0,15	1,05		3569	78,87%	
3	0,15	1,00	5610	4014	22,13%	Расход $Q =$ $= 0,166 \text{ м}^3/\text{сек}$

Задержанное количество чистого песка по отношению к внесенному количеству распределяется:

песколовка № 2 — 63,6%,

песколовка № 3 — 18,07%,

не задержано песколовками — 18,33%.

Таблица 12

Опыт 3. 3/VIII 1935 г.

№ песко- лово- вок	Ширина щели в м	$v_{cp}$ над щелью в м/сек	Внесено песка, см <sup>3</sup>	Задер- жано песка см <sup>3</sup>	Распределе- ние между песковками задержанного песка в %	Примечание
					1	2
1	0,15	1,59		1506	41,00	$Q = 0,116 \text{ м}^3/\text{сек}$
2	0,15	1,22	5610	992	27,00	
3	0,15	1,07		1175	32,00	

Задержанное количество чистого песка по отношению к внесенному количеству распределяется:

песковка № 1 — 26,8%,

песковка № 2 — 17,6%,

песковка № 3 — 20,4%,

не задержано песковками — 35,2.

Надо отметить, что внесенный песок по цвету значительно отличается от песка, поступающего со сточной жидкостью: первый имел желтый цвет, второй — черный. Цвет песка был характерен для каждой песковки, особенно по сравнению с цветом песка, оставшегося в лотке перед песковками.

Дальнейшие наблюдения проводились на сточной жидкости без дополнительного внесения песка. Первые опыты, проведенные на трех песковках, показали, что учесть эффект первой песковки в процентах является затруднительным из-за того, что, как сказано, скорости течения жидкости над всеми песковками были различны.

Общее количество полевых опытов, произведенных в указанных условиях за период с 2/VIII по 19/XI 1936 г., включая и повторные, составляет 34.

Данные опыты приведены в сводной табл. 13 и расположены в порядке увеличивающихся расходов сточной жидкости.

Таблица 13

№ п/п	Дата наблюде- ния	№ песковок			$Q$ в $\text{м}^3/\text{сек}$	Ширина щели в м	Задержано песковками за 15 мин. см <sup>3</sup>			Всего задер- жано см <sup>3</sup>	$\%$ задержки к общему количеству		
		1	2	3			1	2	3		1	2	3
1	14/XI	1,12	0,88	0,81	0,088	0,15	1005	670	1005	2690	37,5	25	37,5
2	4/IX	1,59	1,22	0,97	0,116	0,15	1100	1260	1000	3360	33	38	29
3	25/IX	1,36	1,00	0,89	0,160	0,15	2345	3015	2680	8040	29	37	34
4	7/IX	1,36	1,06	0,97	0,165	0,15	7035	5360	2680	15025	47	35	18
5	5/IX	1,36	0,99	0,97	0,176	0,15	3350	6080	2680	12060	28	50	22
6	5/IX	1,36	0,99	0,97	0,176	0,15	2345	4690	2680	9715	24	48	28
7	25/IX	1,39	0,94	0,93	0,177	0,15	9015	4690	2010	9715	31	48	21

Из табл. 13 видно, что разные скорости над каждой песковкой не позволяют рассматривать песковки № 2 и 3 как контроль над работой первой песковки.

Табл. 14, 15 и 16 характеризуют состав тяжелых веществ, задерживаемых песковками.

Таблица 14

Опыт 1. 25/IX 1935 г.

№ песко- ловки	v в м'/сек	Задер- жано песко- ловками см <sup>3</sup>	Содержание тя- желых веществ по весу в %		Содержание ор- ганического ве- щества в %		Примечание
			> 1 мм	< 1 мм	> 1 мм	< 1 мм	
1	1,40	3015	55,00	45,00	82,25	21,78	
2	0,97	4020	70,50	29,50	84,42	31,60	
3	0,94	2345	58,26	41,74	89,64	40,16	Расход Q = = 0,180 м <sup>3</sup> /сек Продолжи- тельность опыта t = = 15 мин. Щель 0,15 м

Таблица 15

Опыт 2. 14/XI 1935 г.

№ песко- ловки	v в м'/сек	Задер- жано песко- ловками см <sup>3</sup>	Содержание тя- желых веществ по весу в %		Содержание ор- ганического ве- щества в %		Примечаний
			> 1 мм	< 1 мм	> 1 мм	< 1 мм	
1	1,26	3015	54,00	46,00	—	15,40	
2	0,99	2345	63,50	36,50	—	18,02	
3	0,97	2010	36,26	63,74	—	16,90	Расход Q = = 0,176 м <sup>3</sup> /сек Продолжи- тельность опыта t = = 15 мин. Щель 0,15 м

Таблица 16

Опыт 3. 8/X 1935 г.

№ песко- ловки	v в м'/сек	Задер- жано песко- ловками см <sup>3</sup>	Содержание тяжелых веществ в %				Примечание	
			по объему		по весу			
			> 1 мм	< 1 мм	> 1 мм	< 1 мм		
1	1,47	3015	64,0	36,0	39,0	61,0		
2	1,10	2680	60,0	30,0	41,8	58,0		
3	1,40	2010	68,0	31,0	42,9	56,8	Расход Q = = 0,213 м <sup>3</sup> /сек Продолжи- тельность опыта t = = 15 мин. Щель 0,15 м	

из табл. 14, 15 и 16 видно, что над первой песколовкой была наибольшая скорость течения; скорости же над второй и третьей различались всего на 5—8 см/сек. Рассматривая работу второй и третьей песколовок независимо от первой было нельзя, так как часть тяжелых веществ улавливалась первой песколовкой при иной скорости течения. Мы принимали условно работу первой песколовки самостоятельной по количеству и качеству уловленных тяжелых веществ. Работа второй песколовки характеризовалась суммой задержанных веществ в первой и второй песколовках вместе. Работа третьей песколовки учитывалась по суммарной работе всех трех. Обработанный материал наблюдений сведен в табл. 17, 18 и 19.

Таблица 17

Опыт 1. 25/IX 1935 г.

№ песко- ловки	v в м/сек	Задержано песколовками см <sup>3</sup>	Содержание ти- желых веществ по весу в %		Содержание органи- ческих веществ в %	
			> 1 мм	< 1 мм	> 1 мм	< 1 мм
1	1,40	3015	55,0	45,0	82,25	21,78
2	0,97	7095	62,0	38,0	83,37	26,69
3	0,9%	9380	55,5	44,5	85,52	31,18

Таблица 18

Опыт 2. 44/XI 1935 г.

№ песко- ловки	v в м/сек	Задержано песколовками см <sup>3</sup>	Содержание ти- желых веществ по весу в %		Содержание органи- ческих веществ в %	
			> 1 мм	< 1 мм	> 1 мм	< 1 мм
1	1,26	3015	54,0	46,0	—	15,4
2	0,99	5360	58,5	41,5	—	46,2
3	0,97	7370	61,2	48,8	—	16,9

Таблица 19

Опыт 3. 8/X 1935 г.

№ песко- ловки	v в м/сек	Задержано песколовками см <sup>3</sup>	Содержание тяжелых веществ в %			
			по объему		по весу	
			> 1 мм	< 1 мм	> 1 мм	< 1 мм
1	1,47	3015	64,0	36,0	39,0	61,0
2	1,40	5695	69,0	31,0	42,0	58,0
3	1,40	7705	67,2	32,8	32,8	57,1

Совпадение в табл. 17, 18 и 19 количеств задержанных веществ первой песколовкой —  $3015 \text{ см}^3$  — является случайным.

Ряд опытов был проведен с постановкой за щелями порогов. Задача постановки порогов — уравнять скорости течения жидкости над песколовками, а также определять, как пороги влияют на задержку тяжелых веществ щелями.

Установленные пороги представляли собой деревянные брусья (плитки), поставленные поперек канала непосредственно за щелью, и возвышались над дном лотка на разную высоту.

Так, при высоте порога за щелью у первой песколовки  $h = 0,10 \text{ м}$ , у второй  $h = 0,045 \text{ м}$  имеем данные, приведенные в табл. 20.

Таблица 20

Опыт 4. 13/XI 1935 г.

№ песко-ловки	$v$ в $\text{м}/\text{сек}$	Задер- жано песко- ловками $\text{см}^3$	Распределе- ние задержки между песко- ловками в %	Содержание тя- желых веществ в % по весу		Содержание органических веществ в %	
				> 1 мк	< 1 мк	> 1 мк	< 1 мк
1	0,91	14 740	77,0	84,9	35,1	—	23,85
2	1,02	2 345	12,0	73,6	26,4	—	25,95
3	0,99	2 010	11,0	70,1	29,9	—	23,50
—	—	19 095	—	—	—	—	—

Следовательно, пороги, даже небольшой высоты, значительно повышали процент задержки тяжелых веществ песколовкой по отношению ко всей массе, уловленной песколовками (что также видно и из табл. 21, когда за щелями у всех песколовок во время наблюдений стояли пороги высотой  $0,045 \text{ м}$ ).

Таблица 21

№ песколовки	Дата наблюде- ния	№ песко- ловок			$Q$ $\text{л}/\text{сек}$	Ширина щели в $\text{мм}$	Задержано песколовками за 15 мин. $\text{см}^3$			Всего задер- жано $\text{см}^3$	% задержки к общему ко- личеству		
							1	2	3		1	2	3
		в	1	2	3								
1	7/IX	1,02	1,02	1,02	0,169	0,45	10 720	4020	3015	17 755	60	23	47
2	7/IX	1,02	1,02	1,02	0,169	0,45	7 300	4005	1675	10 050	73	40	47
3	5/IX	1,07	1,07	0,98	0,178	0,45	10 720	2680	3350	16 750	64	46	20

Чтобы судить о работе песколовок в отношении последовательного распределения тяжелых веществ, были проведены опыты над работой двух песколовок при одинаковых скоростях течения.

Результаты приведены в табл. 22.

№ песколовки	$v$ в м/сек	Задер- жано песко- ловками $cm^3$	Распре- деление задержки между нес- коволов- ками в %	Содержание тяжелых веществ в %				Содержание органических веществ в %	
				по объему		по весу			
				> 1 мм	< 1 мм	> 1 мм	< 1 мм		
2	1,00	4020	66	68,0	37,8	36,0	66,2	3,97	
3	4,00	2010	34	60,0	33,6	32,0	52,4	10,68	

Чтобы видеть, как влияют скорости на задержку тяжелых веществ и их состав, наряду с нормальными скоростями течения, были проведены опыты с малыми скоростями течения. Результаты опыта на трех последовательно расположенных песколовках приведены в табл. 23.

Таблица 23

№ песко- ловки	$v$ в м/сек	Задержано песколов- ками $cm^3$	Распределение задержки между песколовками в %	П р и м е ч а н и я	
				30	28
1	0,60	2010	30	Расход $Q = 0,07 \text{ м}^3/\text{сек}$ .	
2	0,43	1842	28	Продолжительность $t = 15 \text{ мин}$ .	
3	0,30	2680	42	Щель 0,15 ".	
		—	100		

По своему составу задержанные в данном случае вещества представляют: песколовка 1: преобладает песок, есть кухонные отбросы, кашеобразная масса; песколовка 2: песка очень мало, много мелких кухонных отбросов; песколовка 3: песка почти нет, преобладают мелкие кухонные отбросы, зернистая масса, покинула мелкая бумага.

По характеристике собранного материала всех наблюдений получаем, что содержание тяжелых веществ крупностью более 1 мм составляет в среднем около 40% с колебаниями от 62 до 32%, вне зависимости от скоростей течения.

Характеризуя фракции тяжелых веществ крупнее 1 мм по содержанию в них органических веществ, имеем потерю при их прокаливании в среднем 80—85%.

В мелких фракциях, меньше 1 мм, механической сортировкой находим исключительно песок с неизначительным содержанием органических примесей. Содержание органических веществ в мелких фракциях зависит от скорости течения жидкости над песколовками, что видно из табл. 14.

При последовательной работе трех песколовок с одинаковой скоростью количество тяжелых веществ распределялось по песколовкам последовательно и пропорционально удельному весу отдельных частиц. Такое распределение уловленных тяжелых веществ объясняется разницей удельного веса отдельных частиц и послойным распределением твердых веществ в лотке канала. Более тяжелые частицы занимают самое нижнее положение, движутся непосредственно по дну лотка, более легкие частицы располагаются выше последовательными слоями. Проходя над первой щелью, частицы нижнего слоя будут проваливаться в приемник, частицы же следующего слоя пройдут над щелью. Не имеет под собой слоя, который уже задержался в первой песколовке, частицы бывшего второго слоя займут теперь наименее положение и, подходя к щели второй песколовки, будут проваливаться в приемник.

Указанное расслоение будет происходить до тех пор, пока придонная скорость течения будет проносить частицы с небольшим удельным весом над щелью. Предел расслоения твердых частиц в потоке в значительной мере зависит от скорости течения, и каждая скорость даст свои результаты сортировки тяжелых веществ, задерживающихся песколовками. Если вместо трех последовательно расположенных песколовок с одинаковыми размерами щели поставить одну песколовку со щелью, по размеру равной сумме трех щелей, то надо предполагать, что аналогичной работы обеих установок как по удельному весу, так и по ставу задержанных тяжелых веществ не получится.

Весьма характерным является то, что при всех проведенных наблюдениях тряпье проносилось течением и в щели не попадало.

### 3. Количество тяжелых веществ

В разводную канаву, на которой проводились наблюдения за песколовками, сточная жидкость поступала из главного канала, пройдя от него путь около 3 км, имея при этом по пути большое количество ответвлений и выпусксов. Кроме того, сточная жидкость из главного канала в разводную канаву поступает из-под щита, который бывает поднят на различную высоту, в зависимости от требований района в воде. Вследствие указанных причин, при одном и том же расходе, поток жидкости в канаве, на которой стояли песколовки, несет не одинаковое количество тяжелых веществ. Это обстоятельство влияло на количество, а также и на состав тяжелых твердых веществ, поступающих на поля и задерживаемых песколовками. Количество задержанного песколовками осадка было все же довольно значительное. Так, по данным всех опытов, при среднем расходе  $Q = 0,180 \text{ м}^3/\text{сек}$  за 15 мин, песколовками задерживалось в среднем  $9500 \text{ см}^3$  тяжелых веществ. Это дает в сутки  $915 \text{ л}$  тяжелых веществ осадка на  $15\,550 \text{ л}$  сточной жидкости, прошедшей над песколовками. Считая норму воды  $100 \text{ л}$  на человека в сутки, получится, что количество твердых веществ, задерживаемое песколовками, составляет  $5,86 \text{ см}^3$  или  $0,009 \text{ кг}$  на 1 человека в сутки при влажности осадка 50% и удельном весе его около 1,60.

Надо оговориться, что указанные цифры относятся к тем специфическим условиям, в каких работали опытные песколовки, и несомненно, что количество твердых веществ, содержащееся в сточной жидкости, поступающей на поля, значительно больше.

### ВТОРАЯ СЕРИЯ ОПЫТОВ

Поскольку основные условия работы щелевой песколовки в достаточной мере освещены опытами 1936 г., следует дать сравнительную оценку щелевой песколовки по отношению к обычным типам песколовок.

Для сравнения с щелевой была выбрана наиболее надежно работающая горизонтальная песколовка так называемой «системы Имгофа».

Наблюдения проводились на опытном стенде Люберецких полей фильтрации, устроенном в 1937 г. для изучения гидравлического режима канализационной сети.

Опытной проверке подлежали также и некоторые другие вопросы, касающиеся проектирования песколовок. Так, необходимо было сравнить эффективность работы обеих песколовок при различных скростиах течения в них жидкости и испытать возможность удаления осадков из песколовок путем выпуска их через трубу.

Экспериментальные работы второй серии опытов по изучению работы песколовок проводились с сентября по декабрь 1937 г.

### 1. Описание опытной установки

При выборе постройки песколовок преследовалась цель получить сточную жидкость в перемешанном состоянии. Поэтому песколовки были построены вблизи выходной камеры дюкера, так как сточная жидкость, выходя из дюкера, интенсивно перемешивается.

а) Горизонтальная песколовка. В пониженной части щелица песколовки, куда сползает осадок, была вставлена железная труба диа-

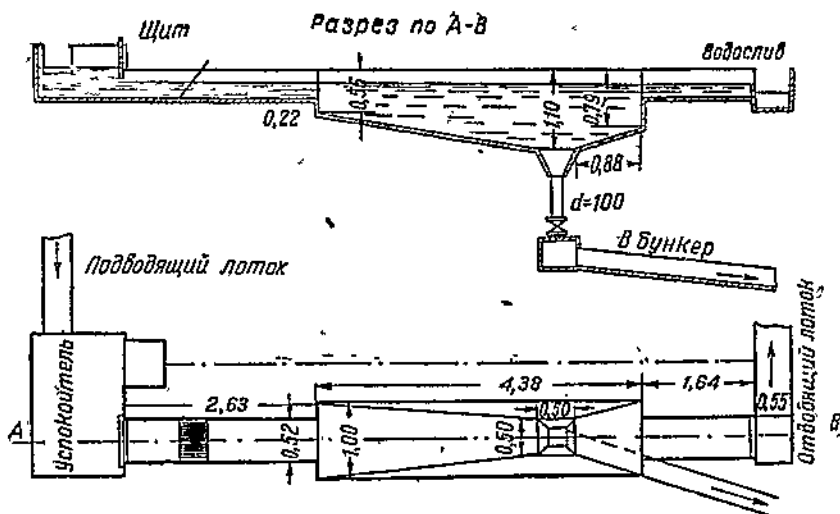


Рис. 26. Чертеж горизонтальной песколовки.

метром 100 мм, на которой была установлена вадвижка Лудло. Труба имела плавный поворот под углом 90°.

Наблюдения над выпуском из песколовки осадка по трубам показали, что труба в точке поворота забивается. Поворот был удален и заменен промежуточным бачком, из которого осадок по лотку направлялся в бункер для обезвоживания.

Для учета жидкости, проходящей через песколовку, в конце отводящего лотка был установлен прямоугольный водослив с боковым сжатием (рис. 26). Водослив был тарирован объемным способом.

б) Щелевая песколовка была устроена в виде прямоугольного лотка длиной 30,25 м, шириной 0,55 м и высотой 0,44 м с щелью шириной 0,15 м.

## 2. Методика и производство наблюдений

Наблюдения за работой песколовок проводились следующим образом: песколовки освобождались и промывались от осадков, оставшихся от предыдущего опыта, после чего в песколовки одновременно направлялась сточная жидкость. Расходы жидкости, проходящей через песколовки, учитывались: а) для горизонтальной песколовки — тарированным водосливом, б) для щелевой — замером наполнения в тарированном лотке. За все время проведения каждого опыта поддерживался постоянный расход жидкости, что достигалось путем маневрирования щитами в подводящих лотках.

Расходы сточной жидкости устанавливались такие, чтобы скорости  $v$  в песколовках получались для горизонтальной песколовки от 0,07 до 0,25 м/сек (т. е. скорости, обычно принимаемые при расчете подобных песколовок); для щелевой песколовки — от 0,60 до 1,06 м/сек (скорости, принимаемые при расчете самотечных каналов и труб).

Вследствие недостаточной пропускной способности лотков горизонтальной песколовки и так как при малых скоростях течения жидкости в щелевой песколовке тяжелые осадки отлагались в лотке и не доходили до щели, не представлялось возможным испытать работу песколовок при одинаковых скоростях течения жидкости.

По истечении определенного времени работы песколовок они выключались из действия и разгружались от осевших в них осадков. Осадки из горизонтальной песколовки выпускались через трубу, а из щелевой вынимались вместе с движущим бачком. Производился замер осадков, задержанных каждой песколовкой в отдельности, и определялся состав осадков. Замер количества осадков,

являющихся из песколовок, производился по объему, для чего применялся мерный желобчатый бачок емкостью 0,029 м<sup>3</sup>. Осадок в бачке обезвоживался до определенной влажности, для чего бачок закрывался доской и переворачивался вверх дном. После удаления воды слой осадка в бачке замерялся метром, и вычислением находился объем осадков.

В различных точках песколовки и в подводящем и отводящем лотках брались пробы сточной жидкости для определения содержания взвешенных веществ. Определение количества взвешенных веществ производилось объемным способом, т. е. путем двухчасового отстаивания жидкости в цилиндрах «Лысенко».

Параллельно брались пробы для механической сортировки осадка. Взятые пробы высушивались до воздушно-сухого состояния, а затем производилась сортировка по крупности на 8 фракций на ситах. Размер сит был взят 10; 5; 3; 2; 1; 0,5; 0,25 мм и меньше 0,25 мм. Для каждой фракции прокаливанием определялось содержание органических веществ в процентах.

Были проведены такие опыты по задержанию песка, который в определенных количествах вносился поток жидкости выше песколовок. Песок вносился не сразу, а небольшими порциями в течение 10—15 мин. Вносимый песок не сортировался, а поэтому имел разнообразную крупность, которая колебалась от 4 до 0,5 мм. Вносимый песок имел желтую окраску.

Одновременно производились наблюдения за эффективностью и за временем обезвоживанием осадка в бункере.

### 3. Результаты наблюдений

Содержание твердых тяжелых примесей в сточной жидкости зависит от системы канализации, протяженности канализационной сети, а также условий эксплуатации. Приводим данные, характеризующие состав твердых примесей сточной жидкости московской канализации в зависимости от места взятия проб. Приведенные данные в табл. 3 характеризуют состав твердых тяжелых примесей, отложившихся в так называемом нижнем главном канале в Москве. В табл. 24 приведены данные, характеризующие твердые примеси, которые были задержаны опытными песколовками на Люберецких полях фильтрации, куда сточная жидкость подается главным нижним каналом, проходя станцию перекачки, напорный и самотечный каналы протяжением около 14 км. На своем пути жидкость движется с различными скоростями в зависимости от уклонов канала. Наблюдаемые скорости колебались от 1,90 до 0,65 м/сек.

Из табл. 3 и 24 видно, что состав твердых тяжелых примесей является функцией условий работы каналов: наиболее тяжелые частицы осаждаются в самом канале и не доходят до очистных сооружений.

Приведенные данные позволяют подтвердить ранее сделанный вывод. Основной процесс разделения твердых веществ сточной жидкости по весу происходит

Таблица 24  
Состав твердых примесей, рассортированных на ситах

Размер сит в мм	Вес в г	%	Состав осадка
Свыше 10 . . .	27,0	20,77	Ягоды, арбузные семечки, скорлупа орехов, спички и кухонные отбросы
5—10 . . . .	42,0	32,31	Семечки фруктов и кухонные отбросы
3—5 . . . .	23,0	17,70	Ягоды, семечки фруктов, мелкие кости и бумага
2—3 . . . .	8,0	6,15	Бумага, смешанная с песком, и мелкие кухонные отбросы
1—2 . . . .	10,0	7,70	Бумага, смешанная с песком, и семена растений
1/2—1 . . . .	1,0	0,77	Песок и семена растений
1/4—1/2 . . . .	7,5	5,77	Песок и семена растений
Меньше 1/4 . . .	11,5	8,83	Песок с примесью осадка

ходит в самом канале. Под влиянием потока жидкости минеральные вещества как наиболее тяжелые движутся в придонном слое и при уменьшении скоростей течения осаждаются, образуя плотные отложения, которые постепенно заваливаются волокнистыми отбросами и в таком состоянии уже не могут быть размыты даже при повышенных скоростях течения.

Первоначальные опыты по сравнению работы горизонтальной и щелевой песколовок проводились с искусственным внесением песка, количество которого определялось объемным способом. Этим путем были получены данные для точного сравнения процента задержки одного песка (табл. 25 и 26).

Таблица 25

Тип песколовки	$Q$ в $\text{м}^3/\text{сек}$	$v$ в $\text{м}/\text{сек}$	Время пребывания в секундах	Внесено песка $\text{см}^3$	Задержано песка $\text{см}^3$	% задержки
Щелевая	0,044	0,60	0,465	5000	3750	75,0
	0,053	0,61	0,460	5000	3600	72,0
	0,070	0,65	0,400	5000	3450	69,0
	0,075	0,90	0,370	5000	3100	62,0
	0,114	1,06	0,264	5000	2980	59,0

Таблица 26

Тип песколовки	$Q$ в $\text{м}^3/\text{сек}$	$v$ в $\text{м}/\text{сек}$	Время пребывания в секундах	Внесено песка $\text{см}^3$	Задержано песка $\text{см}^3$	% задержки
Горизонтальная	0,0208	0,07	62,5	5000	4850	97,0
	0,0256	0,098	44,8	5000	4810	96,0
	0,0335	0,15	29,0	5000	4800	96,0
	0,0436	0,20	24,8	5000	4500	90,0
	0,0496	0,25	17,5	5000	4460	89,0

Опыт 8/X 1937 г.

Горизонтальная песколовка

Таблица 27

$$Q = 0,0436 \text{ м}^3/\text{сек}, v = 0,20 \text{ м}/\text{сек}$$

Размер сит в $\text{мм}$	Вес в г	%	Содержание органических веществ в %
До 40 . . . . .	27,0	20,77	85,02
5—10 . . . . .	42,0	32,31	87,25
3—5 . . . . .	23,0	17,70	75,11
2—3 . . . . .	8,0	6,15	31,41
1—2 . . . . .	10,0	7,70	34,97
$1\frac{1}{2}$ —1 . . . . .	1,0	0,72	59,82
$1\frac{1}{4}$ — $1\frac{1}{3}$ . . . . .	7,5	5,77	30,13
Мельче $1\frac{1}{4}$ . . . . .	11,5	8,83	6,63
Итого . . . . .	180,0	100,00	66,53 (в среднем)

Кроме песка, в песколовках задерживалось также значительное количество и других тяжелых веществ, содержащихся в сточной жидкости, которые в учет не вошли и были отделены при сортировке.

Все последующие наблюдения проводились без дополнительного внесения песка в поток сточной жидкости, поступающей на песколовки.

В этой стадии наблюдений (в эксплоатационных условиях) характеристика задерживаемых песколовками тяжелых веществ показала преимущественное содержание среди них тяжелых веществ органического происхождения, как-то: костей, семян фруктов, спичек и различных кухонных отбросов.

Данные опытов приведены в табл. 27, 28, 29 и 30.

Таблица 28

Опыт 8/X 1937 г.

Щелевая песколовка

$$Q = 0,053 \text{ м}^3/\text{сек}, v = 0,61 \text{ м/сек}$$

Размер сит в мм	Вес в г	%	Содержание органи- ческих веществ в %
До 10 . . . . .	13,60	10,26	72,20
5—10 . . . . .	27,50	20,80	88,63
3—5 . . . . .	22,00	16,60	83,06
2—3 . . . . .	18,00	9,85	71,17
1—2 . . . . .	10,50	7,94	62,50
1/2—1 . . . . .	2,50	1,87	22,24
1/4—1/2 . . . . .	11,20	8,85	24,14
Меньше 1/4 . . . . .	31,50	23,83	4,48
Итого . . . . .	132,30	100,00	55,20 (в среднем)

Таблица 29

Опыт 18/X 1937 г.

Горизонтальная песколовка

$$Q = 0,0256 \text{ м}^3/\text{сек}, v = 0,098 \text{ м/сек}$$

Размер сит в мм	Вес в г	%	Содержание органи- ческих веществ в %
До 10 . . . . .	31,00	33,16	64,65
5—10 . . . . .	10,00	10,70	77,25
3—5 . . . . .	12,00	12,80	80,31
2—3 . . . . .	11,00	11,77	76,22
1—2 . . . . .	10,00	10,70	72,29
1/2—1 . . . . .	7,00	7,49	60,80
1/4—1/2 . . . . .	5,50	5,89	46,22
Меньше 1/4 . . . . .	7,00	7,49	44,28
Итого . . . . .	98,50	100,00	64,77 (в среднем)

Таблица 30

Опыт 13/X 1937 г.

## Щелевая песколовка

$$Q = 0,070 \text{ м}^3/\text{сек}, \quad v = 0,56 \text{ м/сек}$$

Размер сит в мм	Вес в г	%	Содержание органических веществ в %
До 10 . . . . .	13,00	14,20	91,18
5—10 . . . . .	96,00	89,34	93,83
3—5 . . . . .	19,00	20,76	89,70
2—3 . . . . .	8,00	8,74	86,27
1—2 . . . . .	5,50	6,03	81,09
1/3—1 . . . . .	1,00	1,07	72,52
1/4—1/2 . . . . .	3,50	3,83	55,39
Меньше 1/4 . . . . .	5,50	6,03	14,80
<b>Итого . . . . .</b>	<b>91,50</b>	<b>100,00</b>	<b>84,68 (в среднем)</b>

Из табл. 27, 28, 29 и 30 видно, что тяжелые вещества, задерживаемые горизонтальной и щелевой песколовками, по своему составу близки между собой. Из тех же таблиц видно, что с уменьшением размера фракций частиц количество содержания органических веществ уменьшается. Так, во фракциях меньше  $\frac{1}{3}$  м преобладает исключительно песок. Необходимо указать, что состав тяжелых веществ крупнее 1 мм в значительной степени зависит от сезона. Так, в сезон поступления на рынки города вишни и арбузов песколовкам задерживалось значительное количество их семечек.

При всех проведенных наблюдениях тряпье в щелевую песколовку не попадало, а проносилось потоком.

Для оценки работы горизонтальной песколовки брались пробы сточной жидкости в целях определения количества извращенных веществ, по количеству которых можно было выявить рабочие и нерабочие зоны песколовки, а также влияние скорости течения жидкости в песколовке на характер осаждения мелкой органической извести.

Параллельно производились наблюдения за разгрузкой песколовки от осадков через трубу.

Скорости  $v$  в горизонтальных песколовках определяются из уравнения:

$$Q = v \cdot \omega;$$

$$v = \frac{Q}{\omega},$$

где:  $Q$  — расход в  $\text{м}^3/\text{сек}$ , а  $\omega$  — площадь живого сечения, равная  $bH$ , где  $b$  — ширина песколовки, а  $H$  равняется высоте слоя воды в подводящем лотке плюс половина глубины пониженной части песколовки:

$$H = h + \frac{m}{2} \quad (\text{рис. 27}).$$



Рис. 27. Схема расчета горизонтальной песколовки.

Так и было принято при расчете скоростей в опытной песколовке.

Рабочие и нерабочие зоны при прямоугольной форме песколовки во всех четырех углах (в плане) обрамляют мертвые объемы с очень незначительным движением в них жидкости. Здесь, кроме тяжелых веществ, происходит также осаждение и мелкой органической

взвеси. Так, во входящей сточной жидкости содержание взвешенных веществ было  $7,6 \text{ см}^3$  в 1 л, а в указанных зонах в верхнем слое жидкости оно доходило до  $4,0 \text{ см}^3$  в 1 л. Подобное осаждение мелкой взвеси осадков также наблюдалось в понижённой части и особенно было заметно в первой половине длины песколовки.

Чтобы судить о влиянии скоростей протока жидкости на осаждение мелкой взвеси, пробы брались с глубины 10 см в четырех точках по средней продольной оси песколовки: первая проба бралась в лотке перед песколовкой, вторая — в середине, третья — в конце и четвертая — за песколовкой.

Данные приведены в табл. 31.

Таблица 31

Точка взятия	Содержание взвешенных веществ в $\text{см}^3$ в 1 л			
	$v = 8 \text{ см/сек}$	$v = 14 \text{ см/сек}$	$v = 18 \text{ см/сек}$	$v = 24 \text{ см/сек}$
1 . . . . . . . . . .	9,0	5,50	5,8	7,6
2 . . . . . . . . . .	5,70	5,20	5,5	7,7
3 . . . . . . . . . .	4,50	5,00	5,0	7,4
4 . . . . . . . . . .	4,90	5,00	5,0	7,8

Из табл. 31 видно, что скорости протока имеют большое значение в смысле осаждения мелкой взвеси. Так, при скорости  $v = 8 \text{ см/сек}$  значительное количество мелкой взвеси осаждается в песколовке. С увеличением скорости осаждение уменьшается, и начинается вынос мелких фракций осадков, главным образом органического происхождения.

Что касается условий разгрузки песколовки от осадков путем выпуска их через трубу, оказалось, что диаметр трубы 100 мм мал. Осадок через трубу при опытах плохо вытекал, и его приходилось проталкивать с помощью деревянной штанги. Кроме того, угол дна песколовки по направлению к выпускной трубе оказался недостаточным, осадки плохо сползали в трубу, и их приходилось сгребать лопатой и проталкивать вниз. Чтобы осадки легче сползали в выпускной трубе, необходимо предусмотреть угол дна не менее  $45^\circ$ .

#### 4. Обезвоживание осадков при помощи бункера

Обезвоживание осадка, выпускаемого из песколовок, в проекте Курьяновской станции первоначально намечено было при помощи бункера особого устройства с сетчатой стенкой. При рассмотрении проекта было предложено заменить сетку бункера стенкой в виде жалюзи. На стенде были поставлены наблюдения над моделью бункера.

По своей конструкции бункер представлял ящик формы усеченной пирамиды. Две стены ящика были сделаны сплошными, две другие были, сделаны из планок, расположенных наклонно в виде жалюзи (рис. 28).

Прозор между планками был сделан сначала в 1 см. В процессе наблюдений было замечено, что прозор в 1 см величине (осадки вместе с водой проходили через прозоры), после чего к существующим планкам были набиты дополнительные, пластины, и прозоры были доведены до 4 мм.

Испытание работы бункера производилось над осадками только из горизонтальной песколовки.

Опыты показали, что через 30 мин. из бункера вытекала основная масса воды, осадок получал влажность около 75% и свободно держался на лопате.

Принцип обезвоживания осадка в бункере состоит в том, что более крупные частицы осадка, прижимаясь к стенкам бункера, образуют фильтрующую поверхность, через поры которой просачивается вода. Осадок должен находиться в бункере определенное время.

В первое время после наполнения бункера через отверстия его вместе с водой уходят и мелкие частицы осадков, затем отверстия закрываются более крупными

частицами, и против отверстий создается фильтрующая среда, которая начинает задерживать и более мелкие частицы осадка. Первые порции воды, вытекающей из бункера, были поэтому насыщены осадком, вследствие чего желательно направлять их в другой соответствующей конструкцией бункер,

Ряд бункеров может дать фильтрат с неизначительным содержанием твердых примесей, который затем может быть направлен на соответствующие очистные сооружения, песок же — к месту его утилизации.

Разрез по А-В

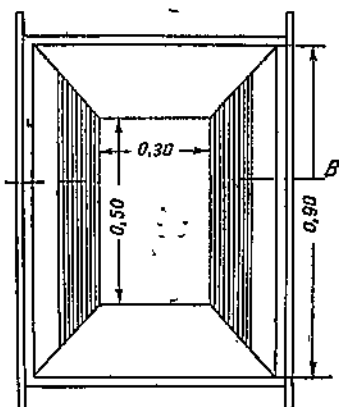
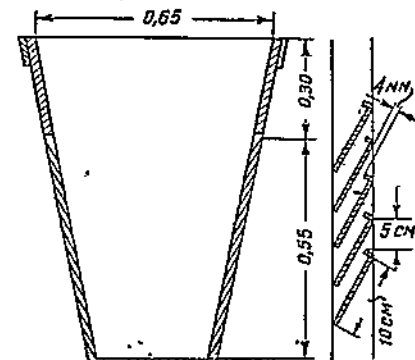


Рис. 28. Бункер.

5. При скоростях течения 0,30—0,45 м/сек эффективность задержания увеличивается, но в то же время возрастает и задержание более легких органических примесей.

6. Наличие порогов за щелями увеличивает задержание тяжелых веществ, почему устройство порогов следует считать желательным.

7. По своему устройству щелевая песколовка проста и эффективна в задержании в особенности грубых тяжелых веществ, движущихся по дну каналов.

8. Щелевая песколовка не нарушает работы каналов и может работать при эксплоатационных скоростях течения.

9. Основное требование к расположению щелевых песколовок — это спокойное течение жидкости над песколовками и не меньше чем на длине 10—15 м перед песколовками (отсутствие поворотов; изменение уклонов, щитов и др.).

10. Характерно для работы щелевой песколовки, что тряпье в щель не попадает, а проносится потоком.

11. По сравнению с горизонтальной щелевая песколовка задерживает меньшие тяжелых веществ по объему, но зато она проста по своей конструкции, занимает мало места и вполне может быть применима на каналах сети.

12. При выпуске осадков при помощи трубы уклон дна в горизонтальных песколовках к выпускной трубе должен быть не менее 45° (иначе осадки не сползают).

13. Диаметр трубы для выпуска осадков в 100 м мы мал, и повороты на ней под углом 90° недопустимы.

## 5. Выводы по изучению песколовок

1. Ни один вид песколовок не выделяет из сточных вод только одни минеральные примеси — всегда вместе с пектином и минеральными веществами песколовки задерживают и органические.

2. Послойное распределение тяжелых веществ сточной жидкости происходит еще в канале вследствие равномерности удаленных песков тяжелых примесей и влияния потока жидкости.

3. Явления расслоения и разница в скоростях продольного перемещения различных слоев создают благоприятные условия для выделения тяжелых веществ из сточной жидкости щелевыми песколовками, так как в щели могут выпадать частицы, движущиеся лишь в нижнем слое. Взвешенные вещества, находящиеся в верхних слоях жидкости, проходят над щелями, не попадая в них.

4. С увеличением скоростей течения движение тяжелых веществ по дну лотка нарушается, вследствие чего эффективность работы щелевых песколовок уменьшается.

44. Для устранения мертвых зон в горизонтальных песколовках желательно избегать в их конструкциях резких расширений и сужений, а делать их с постепенным переходом от подводящего канала к песколовке и от песколовки к отводящему лотку.

15. Обезвоживание осадков, выпускаемых из песколовок при помощи бункеров, возможно. Следует таким образом предусматривать конструкции бункеров, чтобы против выпускных щелей могла образоваться фильтрующая поверхность из более крупных частиц осадков.

16. При правильной конструкции бункеров представляется возможным получить фильтрат с незначительным содержанием примесей, а сами осадки с влажностью, допустимой для удобного транспортирования их к месту утилизации.

## Часть II

### Глава 5. ДВИЖЕНИЕ ТРЯПЬЯ В КАНАЛАХ

#### 1. Общие задачи исследования

Характер движения тряпья в канализационных каналах пока не изучен, однако необходимость выделения тряпья настоятельно диктуется практикой эксплоатации очистных сооружений.

Поэтому задачей исследования ставилось:

1. Дать характеристику распределения главной массы тряпья в поперечном сечении движущегося потока сточной жидкости в зависимости от удельного веса тряпья и скоростей течения в канале.

2. Выяснить влияние ширины прозоров в решетках на количественный и качественный состав тряпья, задерживающегося на решетках.

3. Дать характеристику тряпья, попадающего в канализационные сети.

#### 2. Методика наблюдения за движением тряпья в каналах

Наблюдения за движением тряпья проводились в каналах московской канализационной сети и Люберецких полей фильтрации. Для задерживания тряпья применялся весьма простой прибор, состоящий из деревянной штанги со вставленными в нее железными шипилками, расположенными одна от другой на 15 см (рис. 29), который устанавливался в разных точках поперечного сечения канала перпендикулярно течению жидкости.

Поставленный прибор держался неподвижно в течение 5 мин. Нависание тряпья и других взвешенных веществ на соответствующие шипилки давало возможность характеризовать до известной степени распределение указанных веществ по живому сечению потока. Для выяснения свойств тряпья зацеплялись за другие волокнистые вещества был проведен ряд наблюдений при медленном движении прибора то вверх, то вниз в течение 5 мин. по одной и той же оси его нахождения.

Указанные наблюдения проводились в каналах круглого, овального и прямоугольного сечений. При всех наблюдениях измерялись скорости течения вертушкой в разных точках живого сечения канала.

#### 3. Результаты наблюдений

1. Круглый кирпичный канал  $d = 1,422$  м. 21 июля 1934 г. Глубина наполнения  $H = 1,32$  м; слой наносов 0,30 м. Данные скоростей и расположение вертикалей (рис. 30):  $v_{cp} = 0,42$  м/сек,  $Q = 0,438$  м<sup>3</sup>/сек.

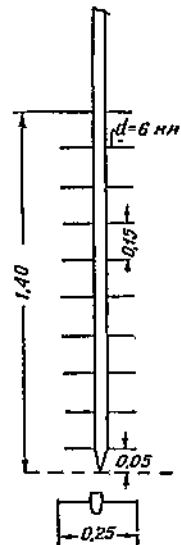


Рис. 29. Штанга со шипильками.

18 час. 30 мин. На вертикали I—I при неподвижном приборе в течение 5 мин.

№ шпилек	Характеристика пависших веществ
1 (нижняя)	Тряпки, мочало и бумага
2	Бумага и мелкая тряпка
3	Бумага и мелкая волокнистая тряпка, волос, нитки и другие тонкие волокнистые вещества
5, 6, 7 и 8	На шпильках намотано тонкое волокно и волос, уменьшаясь в количестве по высоте

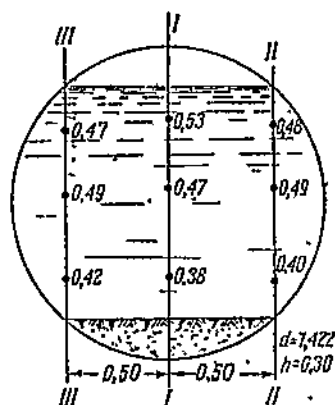


Рис. 30. Канал  $d = 1,422$  м.

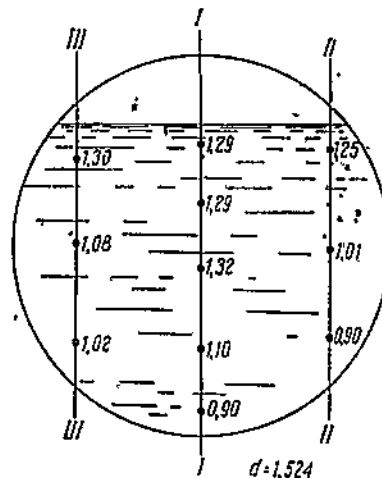


Рис. 31. Канал  $d = 1,524$  м.

18 час. 45 мин. На вертикали I—I при подвижном приборе в течение 5 мин.

№ шпилек	Характеристика пависших веществ
1	Крупная бумага
2	Бумага и длинные волокнистые вещества
3 и 4	На шпильках намотано тонкое волокно Остальные шпильки чисты

19 час. 00 мин. На вертикали II—II при неподвижном приборе в течение 5 мин.

№ шпилек	Характеристика пависших веществ
1	Тряпки (концы)
2	Намотаны на шпильки волокнистые вещества (волос, нитки, пряжа и др.)
3, 4 и 5	Намотаны тонкие волокнистые вещества
6	То же, что на 5, но меньше по количеству

2. Круглый кирпичный канал  $d = 1,52$  м, 23 июля 1934 г. Глубина наполнения канала  $H = 1,35$  м, напосос в канале нет. Данные скоростей и расположение вертикалей (рис. 81):  $v_{cp} = 1,12$  м/сек,  $Q = 1,91$  м<sup>3</sup>/сек.

21 час. 30 мин. На вертикали I—I при неподвижном приборе в течение 5 мин.

№ шпилек	Характеристика нависших веществ
1	Мочало, много крупной тряпки, толстая бумага (мало), кости рыбы и волос
2	Мочало, тряпка (мало), бумага (больше и крупнее, чем на шпильке 1)
3	Мочало, бумага, мелкая тряпка (мало) и волос
4	Мочало, бумага и мелкая тряпка (меньше чем на 3)
5, 6, 7 и 8	Мелкая бумага и длинные тонкие волокнистые вещества
9	Длинное мочало, волос, тонкое волокно и зелень (огурцы, морковь, очистки лука и пр.)
10	Ничего

21 час. "55 мин. На вертикали III—III при неподвижном приборе в течение 5 мин."

№ шпилек	Характеристика нависших веществ
1	Мочало, мелкая тряпка и бумага
2	Кости, мелкая тряпка, бумага, волос, веревка и кости рыбы
3	Мочало, бумага, волос и зелень
4	Мочало, бумага и зелень
5, 6, 7, 8	Мелкая бумага и очистки зелени
9	Шерсть, пряжа и очистки зелени
10	Ничего

Сравнивая характеристику тряпья при подвижном приборе на вертикалях I—I и III—III, видим, что характер нависших веществ такой же, как и на неподвижно стоящем приборе, кроме одного случая сцепления нескольких разнородных волокнистых веществ между собой на вертикали I—I, которые по своему виду напоминали как бы размочаленный канал длиной около 0,7 м.

3. Кирпичный канал прямоугольного сечения (Люберецкие поля фильтрации) шириной  $B = 2,10$  м,  $H = 1,7$  м. 10 ноября 1934 г. Глубина наполнения канала  $H = 1,57$  м. Слой донных налосов 0,41 м. Средняя скорость в канале  $v_{cp} = 0,30$  м/сек. 12 час. дня.

1) На расстоянии 0,25 м от правой стенки канала при неподвижном приборе в течение 5 мин. Между 1-й и 2-й шпильками тряпка, на 2-й — мелкая бумага (мало), от 3-й до 11-й — налет волокнистых веществ (следы).

2) На расстоянии 0,60 м от правой стенки канала неподвижно 5 мин. На 1-й шпильке тряпка, на 2-й шпильке тряпка с бумагой, на 3-й бумага, на остальных небольшой налет намотанных волокнистых веществ (шерсть, волос).

3) На расстоянии 1,05 м от стенки канала (середина канала) при неподвижном приборе в течение 5 мин. Между шпильками 1-й и 2-й тряпка, смешанная с бумагой, на остальных шпильках, так же как и на других вертикалях, небольшой слой намотанных волокнистых веществ.

Приведенные данные по распределению тряпья в живом сечении каналов представляют только часть проведенных наблюдений. Анализируя данные всех наблюдений, следует отметить, что при больших скоростях течения ( $1,25$  и  $1,30 \text{ м/сек}$ ) главная масса тряпья, мочала, бумаги и других волокнистых веществ проносится в нижней части живого сечения потока на высоте до  $0,35$ — $0,40 \text{ м}$  над дном. Ближе к поверхности потока и к стенкам канала количество проносящихся волокнистых веществ уменьшается.

То же можно сказать и про тонкие волокнистые вещества, которые дают на спиральках тонкий слой (налет), хотя наличие их наблюдается по всей высоте потока, но все же количество их постепенно уменьшается по направлению от дна к поверхности.

Особенно сложным является движение бумаги. Как видно из результатов наблюдений, бумага чаще встречается в нижней части потока, однако она иногда попадается листами и в верхней части потока, пылающая время от времени на поверхность и снова погружаясь в поток. Здесь, повидимому, большую роль играют донные вихри и пульсации потока, обладающие подъемной силой в зависимости от формы и положения движущейся бумаги и других подобных ей веществ.

Необходимо отметить, что приведенный характер движения тряпья в канализационных каналах не может в полной мере быть обобщаем. Расположение указанных компонентов сточной жидкости для одного и того же пункта канала может значительно меняться даже при постоянных скоростях течения в зависимости от изменения при движении как формы, так и удельного веса тряпья.



Рис. 32. Образование комы из тряпья.

жатьсяся тряпке, веревке и т. п., как (при известных условиях) происходит скрепление с ними и перематывание вновь приносимых волокнистых веществ, влекущихся по дну. В результате образуются комы тряпья. Образовавшиеся комы тряпья срываются течением и, перекатываясь по дну, увеличиваются подобно снежному кому. У движущегося кома образуются вихревые движения, еще более благоприятствующие дальнейшему налипанию тряпья на поверхность комы. Схематически процесс образования комьев из тряпья в канале изображен на рис. 32.

Образование комьев из тряпья является часто причиной закупорки канализационных труб, а иногда каналов, так как комы при длинных каналах могут достигать иногда значительных размеров. Например, по главному нижнему каналу московской канализации на насосную станцию нередко приносились комы тряпья весом до  $100$ — $150 \text{ кг}$  и более.

#### 4. Работа решеток, состав и количество тряпья (отбросов), улавливаемого решетками

Наблюдения за работой решеток проводились на главной насосной станции, на Люберецких и Люблинских полях фильтрации московской канализации. Данные наблюдений по насосной станции в 1933 г. дают следующую количественную и качественную характеристику задержания тряпья, попадающегося в канализационных каналах. На решетках с прозорами  $30 \text{ мм}$  в сутки задерживается тряпья  $5,6$ — $6,0 \text{ т}$  (монрого) при расходе жидкости  $Q = 200\,000 \text{ м}^3$  в сутки. После просушки до воздушно-сухого состояния вес тряпья уменьшается до  $1,2 \text{ т}$ . Следовательно, содержание влаги в отбросах, снятых с решеток, составляет в среднем  $75\%$ .

Механический анализ (в %) сухих отбросов с решеток дает следующее распределение (данные насосной станции):

тряпки . . . . .	7,0
сукно . . . . .	0,3
вата . . . . .	0,2
концы . . . . .	11,0
макулатура . . . . .	51,0
тряпье-брак . . . . .	10,0
резина . . . . .	0,4
ватошь . . . . .	9,0
<hr/>	
Всего . . . . .	96,9 .

Уменьшение общей массы на 3,1% произошло за счет потери при сортировке тряпья, находившегося на них песка и других мелких примесей.

По времени наибольшее количество тряпья поступает на насосную станцию с 12—18 час., в остальные же часы суток количество тряпья уменьшается.

20 сентября 1933 г. за время с 14 до 16 час. с решеток было снято 400 кг отбросов. Из данного количества 200 кг было промыто, причем оказалось, что в нем 82 кг длинных волокнистых веществ и 68 кг бумаги.

После просушки вес утиля (в кг) оказался:

длинного волокна . . . . .	32,5
обтирочной тряпки . . . . .	4,5
мелкой тряпки . . . . .	0,1
бумаги . . . . .	4,5

т. е. выход сухого вещества, снятого с решетки, около 20%.

По данным главной насосной станции, выход сухого утиля из сырого, снятого с решеток, получается:

для длинных волокнистых веществ — 20—24%,  
для бумаги — 10—12%.

Снимаемые на насосной станции граблями с решеток отбросы проходят через дробилку, после чего поступают в приемный резервуар станции и вместе со сточной жидкостью перекачиваются центробежными насосами на очистные сооружения.

Из всего количества (200 000 м<sup>3</sup>) сточной жидкости, поступающей на станцию, около 175 000 м<sup>3</sup> в сутки в 1934 г. перекачивалось на Люберецкие поля фильтрации, а остальная часть — на Люблинские поля и на Кожуховскую станцию аэрации.

Наблюдения проводились круглые сутки в октябре и ноябре 1934 г.

Наблюдали за работой решеток по задержанию тряпья на Люберецких полях фильтрации проводились в трех точках, расположенных последовательно одна за другой по ходу сточной жидкости (рис. 33). Все три решетки поставлены наклонно, как показано на рисунке. Условия работы решеток приведены в табл. 32 (см. стр. 48).

Все задержанные этими решетками отбросы снимались с них вручную граблями и складывались в специально устроенные мерные ящики.

Количество отбросов, задержанное решетками, в среднем за сутки оказалось следующее:

решетка № 1 — 3000 кг . . . . .	60%
» № 2 — 1050 » . . . . .	20%
» № 3 — 910 » . . . . .	20%

Всего 4960 кг . . . . . 100%

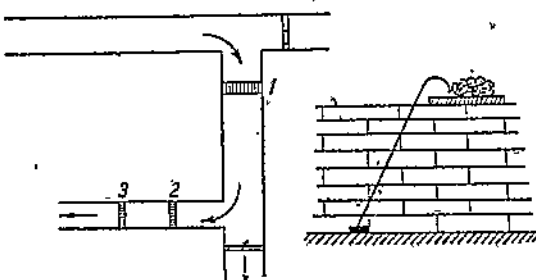


Рис. 33. Схема расположения решеток.

Таблица 32

№ решеток	Ширина канала в м	Среднее наполнение канала в м	Средние расходы сточной жидкости в м³ в сутки	Прозоры у решеток в мм	Форма и размер прутьев решетки в мм
1	4,83	1,35	90 000	60	Квадраты 16 × 16
2	4,30	0,72	90 000	60	$d = 17$
3	4,30	0,72	90 000	30	Прямоуг. $b = 8$ $h = 25$

Всего с трех решеток в среднем за сутки снималось тряпья 4960 кг.

Анализируя работу решеток, видим, что из 4960 кг через первую решетку проходит без задержки 40%, через вторую и третью — 20% тряпья.

Количество поступающих отбросов (в килограммах) по часам суток зависело только от колебания притока сточных вод, другой же зависимости как на главной насосной станции, так и на полях фильтрации установить не удалось.

Пройдя через насосы, а также большой путь (6552 м напорной и 42 812 м самотечной части канала), все волокнистые отбросы сильно изменились (в особенности бумага) и перепутались между собой. Тщательная и длительная сортировка дала следующий состав отбросов: текстиль, тряпка, мочало, веревки и другие волокнистые вещества, бумага (как таковая), кухонные отбросы (капуста корнеплоды, кости, рыба, овощи и др.), дерево (спички, карандаши, листья и др.).

Сортировка взятых образцов с каждой решетки (по 1 кг в сыром виде) характеризуется данными табл. 33, 34 и 35.

Таблица 33

## Решетка № 1

## Прозоры 60 мм

%	Составные части	Вес сырой массы в г	Вес массы после просушки при 105°C	Потери влаги в %	% содержания влаги
77	Текстиль . . . . .	768	133	635	82,7
10	Кухонные отбросы . . . .	99	24	75	75,7
9	Бумага . . . . .	94	48	76	80,8
3	Дерево . . . . .	28	9	19	67,8

## Решетка № 2

## Прозоры 60 мм

Таблица 34

%	Составные части	Вес сырой массы в г	Вес массы после просушки при 105°C	Потери влаги в %	% содержания влаги
73	Текстиль . . . . .	735	133	602	81,9
11	Кухонные отбросы . . . .	100	23	87	79,0
11	Бумага . . . . .	114	25	89	78,0
8	Дерево . . . . .	33	7	26	78,7

Таблица 35

Решетка № 3

Прозоры 30 мм

%	Составные части	Вес сырой массы в г	Вес массы после просушки при 105° С	Потеря влаги в %	% содержания влаги
35	Текстиль . . . . .	352	73	279	79,2
32	Кухонные отбросы . . . . .	319	43	276	86,5
28	Бумага . . . . .	279	56	223	80,0
5	Дерево . . . . .	46	13	33	71,7

Приведенные данные показывают, что последовательная установка решеток является желательной, так как дает возможность позже задерживать находящиеся в сточной жидкости крупные вещества. Выбирая соответствующие размеры прозоров и решеток, можем производить сортировку тряпья как по размерам, так и по составу, что, несомненно, облегчит их дальнейшую обработку и утилизацию.

В 1937 г. инж. И. Л. Казеевым и М. И. Шипицким на Люблинском комбинате очистки сточных вод были поставлены опыты и наблюдения по работе решеток на Ново-Люблинском канале.

Решетки испытывались с прозорами в 20, 15 и 10 мм. Испытания производились при установке решеток каждой в отдельности, а также при установке в последовую порядок одна за другой. Попутно с наблюдениями за работой решеток производились: прессование отбросов на ручном прессе (внеготовом), естественное обезвоживание отбросов с определением их влажности, определение состава отбросов и замеры потерь напора в решетках.

На основании проведенных опытов и наблюдений авторами сделаны следующие выводы.

1. Количество отбросов, снимаемых вручную с решетки с прозорами в 20 мм на 1000 м<sup>3</sup> сточной жидкости, в среднем (для ноября), колеблется от 20 до 25 л.

2. Содержание отбросов в сточной жидкости распределяется неравномерно по часам суток и колеблется от 10—15 до 40—45 л на 1000 м<sup>3</sup> сточной жидкости.

Увеличение количества отбросов начинается с 11—12 час. дня, к 15—16 час. достигает максимума, держится на максимальном уровне до 20—21 час. и к 24 час. уменьшается. В промежутке от 1 часа ночи до 10—11 час. утра — минимальное поступление отбросов.

3. Решетки с прозорами 15 мм задерживают отбросов на 10—12% больше, чем с прозорами 20 мм (27,2 л против 23,8 л на 1000 м<sup>3</sup>).

4. Решетки с прозорами в 10 мм на больших расходах ставить вряд ли целесообразно вследствие образования в канале больших подпоров.

5. Количество отбросов, задерживаемых двумя решетками с прозорами в 20 и 15 мм, поставленными последовательно, составляет около 130% от количества отбросов, задерживаемых одной 20-мм решеткой.

Процент задержания отбросов каждой из двух решеток:

первой, 20-мм — 100%,

второй, 15-мм — 72—74%.

6. Количество отбросов, задерживаемых тремя решетками с прозорами в 20, 15 и 10 мм, поставленными последовательно, составляет около 200% от количества отбросов, задерживаемых одной решеткой с прозорами в 20 мм.

Процент задержания отбросов каждой решеткой:

первой, 20-мм — 100%,

второй, 15-мм — 83%,

третьей, 10-мм — 67%.

7. Влажность непрессованных отбросов колеблется от 84 до 89%, а прессованных (ручное прессование) — от 63 до 71%.

8. Средний вес 1 л отбросов колеблется для непрессованных отбросов от 0,73 до 0,96 кг (в среднем 0,76 кг) и для прессованных — от 0,74 до 0,82 кг.

9. Ручное прессование на винтовом прессе при нагрузке 5 кг/см<sup>2</sup> уменьшает количество отбросов как по объему, так и по весу, в 2,3—2,5 раза.

10. Количество воды, вытекающей из 20 л непрессованных отбросов через дырячное дно мерного ящика при естественном обезвоживании за 1 час, — 3,1—3,3 л, или 15—16% по объему.

Влажность обезвоженных таким образом отбросов снижается с 86, примерно, до 82,5%.

11. Средний состав отбросов по весу отсортированных по основным группам (10 проб) таков:

дерево (спичечные коробки, щепки)	1,1%
мелюкое тряпье и бумага, концы	97,1%
резина	0,4%
опоши	0,4%
Всего	100%

12. Наблюдавшиеся потери напора на решетках оказались выше теоретически подсчитанных по формуле Киршнера, примерно, в 2—3 раза, что нужно отнести за счет неполной прочистки решеток.

Одновременно с постановкой опытов и наблюдений по решеткам на Люблинском комбинате очистки сточных вод были проведены наблюдения по решеткам, работающим в эксплоатационных условиях на прочих предприятиях треста Мосточиствод, а именно: на Закрестовской, Филийской, Конюховской станциях аэрации и на Люберецких полях фильтрации.

Наблюдения эти носят характер единовременного обследования, однако полученный материал может иметь некоторый интерес.

Краткая характеристика очистных сооружений, на которых проводились наблюдения над решетками:

1) Филийская и Закрестовская станции аэрации являются городскими районными станциями, работающими на самотеке.

На Филийской станции значительную долю поступающих сточных вод составляют воды промышленных предприятий и заводов, всего с хозяйствственно-фекальными водами около 10 000—14 000 м<sup>3</sup> в сутки.

На Закрестовской станции аэрации сточная жидкость преимущественно состоит из бытовых вод, в числе которых имеются воды больничные и банные-прачечные. Общее количество сточных вод — около 6000 м<sup>3</sup> в сутки. Решетки на обеих станциях установлены с прозорами в 10 мм.

2) Конюховская станция аэрации (1-я секция) получает сточную жидкость из Симоновского самотечного коллектора около 14 000 м<sup>3</sup> в сутки и с главной насосной станции около 22 000 м<sup>3</sup> в сутки. Решетки поставлены с прозорами в 20 мм.

3) Люберецкие поля фильтрации принимают сточную жидкость исключительно с главной насосной станции. Все количество сточной жидкости в среднем в сутки определяется в 450 000 м<sup>3</sup>.

Количество сточных вод, проходящих через решетки, составляло в среднем в период наблюдений 31 000 м<sup>3</sup> в сутки.

Решетки установлены перед отстойниками с прозорами в 100 и 30 мм в последовательном порядке, поэтому количество снимаемых с них отбросов является суммарным для этих двух решеток.

4) Люблинский комбинат очистки сточных вод принимает сточную жидкость по старому самотечному загородному каналу в количестве 80 000 м<sup>3</sup> в сутки и по новому Люблинскому каналу 160 000—170 000 м<sup>3</sup> в сутки. Решетками принимались сточные воды нового канала, поступающие с главной насосной станции, следовательно, эти сточные воды предварительно прошли уже через решетки насосной станции с прозорами в 30 мм. В Люблине решетки были поставлены с прозорами в 20, 15 и 10 мм.

В настоящем обзоре приводятся данные только по решеткам с прозорами в 20 мм.

Табл. 36 показывает среднее количество отбросов, задерживаемых решетками с различными прозорами на очистных сооружениях московской канализации.

Наименование очистных сооружений	Прозоры решеток в м.м.	Количество отбросов на 1000 м <sup>3</sup> протекающей жидкости в л
Закрестовская станция аэрации . . . . .	40	460,0
Филийская станция аэрации . . . . .	40	47,0
Кожуховская станция аэрации . . . . .	20	32,7
Люберецкие поля фильтрации . . . . .	100 + 30	24,9
Люблинский комбинат . . . . .	20	23,8

Количество отбросов, задерживающихся на решетках с одинаковыми прозорами, для очистных предприятий, получающих жидкость самотеком, колеблется в 3—4 раза, в зависимости от характера присоединенных к канализации предприятий (больницы, ванные фабрики и т. п.).

## Глава 6. ИСПЫТАНИЕ РЕШЕТКИ НОВОЙ КОНСТРУКЦИИ

### 1. Описание решетки

В решетках обычного типа, применяемых при очистке сточных вод, жидкость, проходя между прозорами, не меняет своего направления. Поэтому тряпье и другие длинные волокнистые вещества, попадая в струю, направленную между решеткой, проходят, не задерживаясь. Кроме того, часть тряпья продавливается при чистке решеток.

Уменьшение прозоров между прутьями решеток стесняет сечение каналов, вследствие чего создается подпор жидкости перед решеткой.

Основной идеей предлагаемой конструкции является изменение направления струй жидкости, с использованием его для задержки волокнистых веществ без уменьшения прозоров решеток. При изменении направления струй изменяется также и траектория движения в потоке отбросов (тряпка, мочало и пр.).

Движущиеся в потоке длинные волокнистые вещества при переменном направлении движения успешно задерживаются решетками.

На указанном принципе была построена опытная решетка. Для изменения направления струй, по нашему мнению, является достаточным делать решетки из тонких, но широких пластин, и располагать последние не нормально к направлению течения, а под некоторым углом. Такая решетка представляет собой железную раму шириной 0,74 м, высотой 0,65 м (размеры берутся по размерам канала). В раму вставлено 14 железных полос прямоугольного сечения шириной

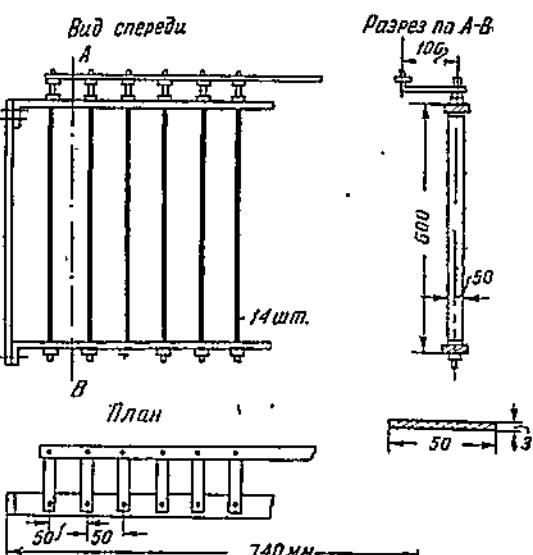


Рис. 34. Решетка новой конструкции.

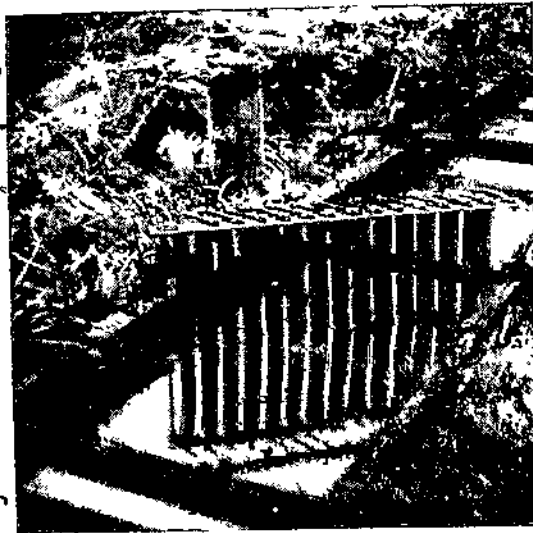


Рис. 35. Фото. Решетка новой конструкции, опытных условиях и пропускающей до 6000 м<sup>3</sup> в сутки стоков лесостепи.

## 2. Методика наблюдений над работой опытных решеток

Первоначально наблюдения проводились на решеткой с подвижными для стока панелями. Вывал решетки в поток вносился в определенных количествах тряпью, взятом с эксплуатационных решеток. По прошествии 20 мин. опытная решетка высыпалась, задержанные тряпью ссыпалась, и количество его замерялось.

Замер снятого тряпья производился следующим образом: брался металлический цилиндр площадью дна 0,017 м<sup>2</sup> и высотой 0,35 м. В дне цилиндра имелись малые отверстия. Снятые

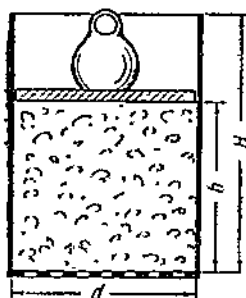


Рис. 36. Бак для замера тряпья.

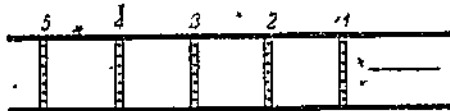


Рис. 37. Схема расположения решеток.

тряпье загружалось в цилиндр и перекрывалось деревянной пластинкой. На пластинку ставился груз весом 5 кг и в таком положении цилиндр находился 3 мин. (рис. 36). Вода с тряпью выжималась грузом и вытекала через отверстия из цилиндра. Замеря через 5 мин. толщину слоя тряпья, определяли его количества. При сравнении количества тряпья, имеющего в потоке и задержанного решеткой, выяснялось, что, кроме добавленного количества своего тряпья. Поэтому для определения эффективности работы решетки в данном случае надлежало решить вопрос, сколько же падает потоком своего тряпья. Для этого были сделаны еще четыре решетки обычного типа, из которых три с прозорами шириной 50 мм и одна с прозорами 10 мм. Прутья этих решеток были

сделаны из круглой железной проволоки диаметром 8 мм. Решетки были поставлены последовательно одна за другой в том же канале (рис. 37).

В процессе наблюдений расположение решеток менялось. В решетке с небольшими пластинами, независимо от ее расположения среди прочих решеток, изменялось направление пластины.

В некоторых опытах эта решетка становилась под углом в  $45^\circ$  к оси канала. Общее количество тряпья, задерживаемое всеми решетками, принималось за 100% эффективности работы данной поставленной решеткой. Решетки определялись отдельно в процентах от общего количества.

Выяснилось, что три первые решетки задерживают 90% тряпья, из-должно же четвертой оставаться от 5 до 30%; пятая решетка с прорывами 10 мм задерживает 10% тряпья. Путем отбора отбросов, мелкую буйвогу и т. д., т. е. только такой материал, который не мог быть задержан решетками, имеющими прорыв 50 мм. Эта последняя решетка быстро забивалась, создавая подпор, вследствие чего ее пришлось выбросить.

При всех наблюдениях, независимо от расхода сточной жидкости, перед решетками замерялся создавшийся подпор жидкости. Замер подпора производился в начале опыта, через 10 и 20 мин. после пуска жидкости (рис. 38).

На графике рис. 39 показано количество тряпья, задержанное отдельными решетками, причем можно отметить, что эффективность работы решетки новой конструкции выше, чем решетки с круглыми прутьями.



Рис. 38. Фото. Замер подпора перед решетками.

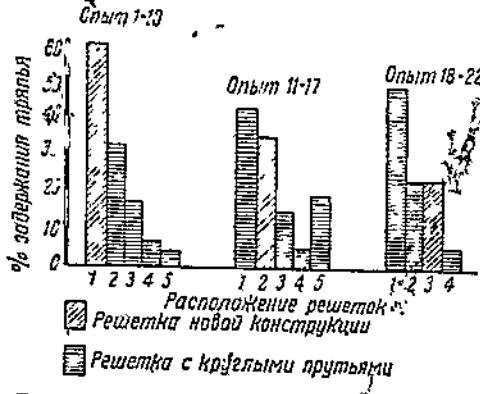


Рис. 39. Диаграммы задержки тряпья решетками.

вод проходит по главному канапу, где попадают в разводную канапу, на которой были установлены опытные решетки.

По нормам НКХ, количество отбросов (тряпья), снимаемое с решеток, при-

нимается на одного человека в год в обычных условиях 5,4 при влажности отбросов 80 %.

Был проведен также ряд наблюдений над решеткой новой конструкции при наклонном состоянии ее в разводной канаве. Наклон давался как по ходу течения жидкости, так и против течения. Решетка устанавливалась также наклонно над щелью щелевой песколовки с целью направить тряпью в щель песколовки.

В некоторых опытах с новой решеткой при нормальном ее положении к направлению потока пластины решетки в одних случаях располагались по ходу потока, в других — под углом 40—45°. Сравнительные данные этих опытов приведены в табл. 37.

Таблица 37

Положение решетки новой конструкции и полос к направлению движения потока жидкости	$Q$ в $\text{м}^3/\text{сек}$	Есого задержано отбросов $\text{см}^3$	Распределение задержания между решетками в %	
			1	2
Решетка поставлена нормально, полосы расположены нормально . . .	0,08	1072	62	38
Решетка поставлена нормально, полосы расположены под углом в 40° . .	0,08	2309	75	25
Решетка поставлена нормально, полосы расположены под углом в 45° .	0,08	2145	77	23

Подпор жидкости перед решеткой новой конструкции должен получаться под влиянием стеснения живого сечения полосами решетки за счет гидравлических ударов жидкости о полосы, а также вследствие изменения направления струй при проходе жидкости между полосами при расположении их под углом к направлению потока.

Опыты показали, что подпор, создаваемый в канале решеткой новой конструкции, несколько больше, чем подпор у решеток с круглыми прутьями, однако уширением канала у решетки можно достигнуть уменьшения подпора у решеток новой конструкции.

Опыт показал, что подпор перед решетками довольно быстро увеличивается по мере задержания ими тряпья. При непрерывной механической чистке решеток это явление устраивается.

### 3. Выводы по наблюдениям над работой решеток

Резюмируя результаты опытов, получаем:

а. Две решетки, поставленные последовательно:

а) первая с плоскими, вторая с круглыми прутьями задерживают всего 80% отбросов;

б) первая с круглыми, вторая с плоскими прутьями задерживают всего 76% отбросов;

в) обе с круглыми прутьями задерживают всего 72% отбросов.

2. Одна решетка с плоскими прутьями задерживает 60% отбросов.

Одна решетка с круглыми прутьями задерживает 50% отбросов.

3. Повышенный процент задержания решеткой новой конструкции получается вследствие обивания длинных волокнистых веществ о полосы решетки, получающегося от изменения направления течения жидкости при проходе ее через прорызы расположенных под углом широких полос.

4. Подпор жидкости, создаваемый в канале решеткой новой конструкции, несколько больше, чем перед контрольными решетками.

5. По мере задерживания отбросов подпор быстро увеличивается, что указывает на целесообразность применения механических грабель.

6. Наиболее благоприятным с гидравлической точки зрения следует считать расположение решетки новой конструкции нормально к оси канала с полосами под углом 30—35° к направлению потока.

7. Применение решетки новой конструкции возможно и на больших каналах, но для прочности последней желательно в таких установках уменьшать высоту решетки, увеличивая ее ширину и уширять канал. Уширение канала уменьшит подпор, создаваемый решеткой.

Заключая обзор произведенных опытов над движением песка и тряпья в канализационных каналах, следует признать, что вследствие сложности вопроса еще не имеется в настоящее время достаточных данных для всестороннего освещения вопроса. Это объясняется, с одной стороны, трудностью выбора подходящих условий для постановки опытов, с другой стороны, сложностью и недостаточной научностью гидравлических условий движения напосов и тряпья в потоке сточной жидкости канализационных каналов.

## Л и т е р а т у р а

1. Агулов К. А. проф. и Великанов М. А. проф., Краткое изложение теории движений речного потока и методы выравнивания рек, 1928 г.
2. Аполлов Б. и Луканин М., Гидрометрия, 1932,
3. Аполлов Б. и Луканин М., Практическая гидрометрия твердого расхода, 1929.
4. Бахметьев Б. А. проф., О равномерном движении жидкости в каналах и трубах, 1929 г.
5. Брудаслов А. Д., Осушивание болот и регулирование водоприемников, 1929 г.
6. Великанов М. А. проф., Гидрология суши, 1932.
7. Великанов М. А. проф., Исследование механизма взвешивания напосов, «Вестник ирригации» № 10 1926 г.
8. Гомчаров В. Н. проф., Движение напосов, ОНТИ, 1938.
9. Гукер, Взвешивание твердых тел текущей водой (Вопросы речного быта).
10. Иванов В. Ф. проф., Очистка городских сточных вод, 1933.
11. Леви И. И., Гидротехнические сооружения, ч. 1, вып. 1, 1933.
12. Пещенко П. В. проф., Гранитационные методы обогащения, ОНТИ, 1935.
13. Малоевич А. Я. проф. и Грицук А. В. инж., Исследование движения жидкости в канализационной сети г. Москвы, 1927.
14. Павловский Н. Н. проф., «Гидравлический справочник», 1924.
15. Советов С. А. проф., Курс общей гидрологии.
16. Соколов Д. Я., Отстойные бассейны, 1933.
17. Финкель И. И. инж., Научные основы мокрого обогащения руд, ч. 1, 1932.
18. Чикоев, Заполнение ирригационных каналов.
19. Forchheimer — Hydraulik, 1914.
20. Эйлер Л. И. инж., Теория движения речных потоков и ее приложение в технике, 1926.
21. Казеев Н. Л. и Шишкин М. И., а) «Испытание работы решеток по улавливанию отбросов из сточной жидкости Ново-Люблинского канала», б) «Обзор работы решеток по улавливанию отбросов из сточной жидкости на очистных сооружениях московской канализации», НИО треста «Мосочиствод», 1937 (работа не опубликована).



## ОГЛАВЛЕНИЕ

<i>Введение</i>	.....
-----------------	-------

### ЧАСТЬ I

<i>Глава 1. Зависимость мезисду скоростью течения сточной вязкости и наносами в канализационных каналах</i>	.....
-------------------------------------------------------------------------------------------------------------	-------

1. Общие сведения о твердых составных частях сточных вод .....	4
2. Вспенивание твердых частиц потоком .....	4
3. Влечение потоком твердых частиц по дну каналов .....	7

<i>Глава 2. Динамика твердых примесей сточных вод (опыты наблюдений)</i>	.....
--------------------------------------------------------------------------	-------

1. Тяжелые вещества .....	9
2. Движение донных наносов .....	10
3. Расположение донных наносов в поперечном разрезе потока в канале .....	12
4. Расположение донных наносов в продольном разрезе потока в канале .....	13
5. Вред от донных наносов и борьба с ними .....	16
6. Требования к песколовкам .....	17

<i>Глава 3. Обзор конструкций существующих песколовок</i>	.....
-----------------------------------------------------------	-------

1. Расчет песколовок и работа их .....	22
2. Недостатки существующих песколовок .....	24
3. Принцип улавливания песка щелью .....	24
4. Намечающаяся конструкция щелевой песколовки .....	25
5. Принцип действия щелевой песколовки .....	26

<i>Глава 4. Испытание щелевой песколовки</i>	.....
----------------------------------------------	-------

#### Первая серия опытов

1. Методика и производство наблюдений .....	28
2. Результаты наблюдений .....	29
3. Количество тяжелых веществ .....	35

#### Вторая серия опытов

1. Описание опытной установки .....	35
2. Методика и производство наблюдений .....	36
3. Результаты наблюдений .....	37
4. Обезвоживание осадков при помощи бункера .....	41
5. Выводы по изучению песколовок .....	42

### ЧАСТЬ II

<i>Глава 5. Движение тряпья в каналах</i>	.....
-------------------------------------------	-------

1. Общие задачи исследования .....	43
2. Методика наблюдений за движением тряпья в каналах .....	43
3. Результаты наблюдений .....	43
4. Работа решеток, состав и количество тряпья (отбросов), улавливаемого решетками .....	46

<i>Глава 6. Испытание решетки новой конструкции</i>	.....
-----------------------------------------------------	-------

1. Описание решетки .....	51
2. Методика наблюдений над работой опытных решеток .....	52
3. Выводы по наблюдениям над работой решеток .....	54

Литература .....	55
------------------	----